

BULLETIN DES RELEVÉS NIVOMÉTRIQUES ET DES PRÉVISIONS HYDROLOGIQUES DU YUKON

Le 1^{er} mars 2026



Rédigé et publié par :
Direction des sciences et de l'intendance de l'eau
Ministère de l'Environnement

**Yukon**

PRÉFACE

Le Bulletin des relevés nivométriques et des prévisions hydrologiques du Yukon est publié trois fois par année – au début des mois de mars, d'avril et de mai – par la Direction des sciences et de l'intendance de l'eau du ministère de l'Environnement. Il présente un sommaire de la situation météorologique et des cours d'eau en hiver au Yukon, ainsi que des mesures de l'épaisseur de la neige et de l'équivalent en eau de la neige prises dans 57 stations. Ces mesures servent à évaluer les probabilités d'inondations printanières dues aux débâcles et aux fortes crues provoquées par la fonte des neiges. Il est à noter que d'autres phénomènes, comme les pluies estivales et la fonte des glaciers, peuvent influencer considérablement sur les niveaux d'eau maximaux annuels dans certains bassins hydrographiques du territoire.

Pour en savoir plus sur le Bulletin, l'accumulation de neige ou les prévisions de ruissellement, veuillez écrire à waterlevels@yukon.ca

Direction des sciences et de l'intendance de l'eau, ministère de l'Environnement

867-667-3171

ou (sans frais au Yukon, aux Territoires du Nord-Ouest et au Nunavut) 1-800-661-0408, poste 3171

Télécopieur : 867-667-3195 | Courriel : waterscience@yukon.ca

On peut consulter le présent bulletin et les bulletins précédents en ligne à yukon.ca/fr/relevés-nivométriques.

ISSN 1705-883X

Veuillez utiliser le titre suivant pour citer le présent document :

Bulletin des relevés nivométriques et des prévisions hydrologiques du Yukon, 1^{er} mars 2026

© Mars 2026

Direction des sciences et de l'intendance de l'eau

Ministère de l'Environnement

Gouvernement du Yukon

C.P. 2703, Whitehorse (Yukon) Y1A 2C6

AVIS DE NON-RESPONSABILITÉ

L'utilisateur comprend qu'il se sert des données à ses propres risques. Il lui revient de vérifier l'exactitude, la disponibilité, la pertinence, la fiabilité, l'utilité, l'exhaustivité et l'actualité des données.

L'utilisateur accepte les données « telles quelles » et reconnaît que le gouvernement du Yukon ne fait aucune déclaration ni ne donne aucune garantie, expresses ou implicites, quant à l'exactitude, à la disponibilité, à la pertinence, à la fiabilité, à l'utilité, à l'exhaustivité et à l'actualité des données, y compris de garanties implicites de qualité marchande ou d'adaptation à un usage particulier et d'absence de contrefaçon.

En ce qui concerne l'accès aux données, l'utilisateur convient que le gouvernement du Yukon ne sera jamais tenu responsable (ni soumis à une obligation délictuelle ou contractuelle), pour quelque raison que ce soit, envers lui ou une entité juridique, de l'exactitude, de la disponibilité, de la pertinence, de la fiabilité, de l'utilité, de l'exhaustivité et de l'actualité des données, y compris des pertes de revenus ou de profits ou encore des dommages directs, indirects, particuliers, accessoires ou consécutifs attribuables à l'utilisation des données ou en découlant.

REMERCIEMENTS

Le Bulletin des relevés nivométriques fait partie du Programme des relevés nivométriques du Yukon, qui relève de la Direction des sciences et de l'intendance de l'eau du ministère de l'Environnement du Yukon. La Direction veut assurer l'intendance de l'eau au Yukon et exercer une surveillance responsable et collaborative pour orienter la gestion et la protection des eaux du territoire.

Nous sommes reconnaissants de pouvoir surveiller les niveaux de neige et d'eau sur les territoires des 14 Premières Nations du Yukon et de collaborer avec bon nombre d'entre elles pour différents aspects de notre travail. Bien que les conclusions transmises dans le présent rapport se fondent principalement sur des observations faites sur le terrain et sur des données scientifiques, nous reconnaissons le lien profond et millénaire des Premières Nations du Yukon avec la neige et l'eau ainsi que leur grand savoir en la matière.

Pour recueillir des données nivométriques sur l'ensemble de notre vaste territoire, nous devons travailler avec plusieurs partenaires. Nous souhaitons donc remercier les organisations et les personnes suivantes pour leur importante contribution au Bulletin des relevés nivométriques :

- *Responsable de la collecte des données, Service de la conservation des ressources naturelles, département de l'Agriculture des États-Unis*
- *Météorologue en chef, Section de la gestion des feux de forêt, ministère des Services aux collectivités du Yukon, Whitehorse*
- *Agent responsable, Relevés hydrologiques du Canada, Whitehorse*
- *Ingénieur en gestion des eaux, Société d'énergie du Yukon*
- *Technologues de la recherche, Université McMaster*

Organismes collaborant avec le ministère de l'Environnement au Programme des relevés nivométriques :

- *Ministère de l'Environnement de la Colombie-Britannique, Division de l'intendance de l'eau*
- *Parcs Canada, parc national et réserve de parc national Kluane*
- *Ministère de la Voirie et des Travaux publics du Yukon*
- *Ministère de l'Énergie, des Mines et des Ressources du Yukon, Direction de la conformité, de la surveillance et des inspections*
- *Ministère de l'Environnement du Yukon, Direction des solutions technologiques et des services à la clientèle*
- *Première Nation des Gwitchin Vuntut*

NOUVEAUTÉS DANS CE BULLETIN

Changement de nom

- La Direction des ressources en eau a été renommée la Direction des sciences et de l'intendance de l'eau afin de mieux représenter l'expertise de son équipe et son rôle, avec ses partenaires, d'intendant des eaux. Il est à noter que ce changement n'a pas d'incidence sur les activités de la Direction. On peut la joindre au 867-667-3171 ou à waterscience@yukon.ca pour les demandes générales et à waterlevels@yukon.ca pour toute question sur les prévisions.

Disponibilité des données

- En janvier 2026, la Direction a lancé l'[explorateur de données sur l'eau](#), un site Web à partir duquel on peut consulter et visualiser les données sur l'eau tirées du réseau de surveillance du gouvernement du Yukon et des réseaux de ses partenaires. Ce site Web complète l'application sur les [conditions hydrologiques](#), une interface conviviale où il est possible de consulter les conditions de neige, et les niveaux et les débits d'eau enregistrés aux stations de surveillance. Les deux outils sont accessibles à partir du [site Web sur les inondations](#) à l'onglet [Données](#).
- La carte la plus récente illustrant l'équivalent en eau de la neige est accessible sur le [site Web sur les inondations](#) à l'onglet [Prévisions saisonnières](#). Sur la carte interactive, on peut cliquer sur des bassins versants ou des stations d'échantillonnage (des coussins à neige dans certains cas) pour voir les valeurs absolues en millimètres d'équivalent en eau de la neige et en pourcentage des valeurs historiques.

Changements relatifs aux stations

- En 2025, des coussins à neige ont été installés aux stations du mont Montana (09AA-M3) et de Tagish (09AA-M1). La station du mont Montana a été installée en 2023 en collaboration avec la Première Nation de Carcross/Tagish. Le coussin à neige de Tagish a remplacé l'équipement qui était sur place pour continuer l'enregistrement de l'équivalent en eau de la neige qui se fait depuis plusieurs décennies.
- Une nouvelle station météorologique, celle de la rivière Fishing Branch (09FA-M1), a été établie dans le parc territorial Ní'íinlii'Njik en septembre 2025. Elle enregistre de façon continue l'accumulation de neige, entre autres données.
- Un nouveau parcours nivométrique a été établi sur le mont Crow (09FD-SC02) près d'Old Crow en 2025.
- Les parcours nivométriques comptant deux points d'échantillonnage distincts s'affichent maintenant comme une seule donnée composite. Quatre parcours nivométriques sont touchés par ce changement : Aéroport de Whitehorse (09AB-SC02), Ruisseaux Twin (09BA-SC02), Aéroport de Mayo (09DC-SC01) et Rivière Hyland (10AD-SC01). Les notes sous le tableau 1 donnent des explications supplémentaires sur les méthodes utilisées pour compiler les données composites et sur les données historiques qui ont été transformées pour tenir compte des variations entre les emplacements appariés, améliorant ainsi les comparaisons historiques.

- La station météorologique de Log Cabin (09AA-M2) a été installée en juin 2023 (figure A3). Les plages de données enregistrées par le coussin à neige ont été élargies en reculant la série chronologique dans le temps en utilisant des estimations composites de deux indicateurs indirects :
 1. les séries de l'équivalent en eau de la neige du 1^{er} mars au 1^{er} mai (ou au 15 mai si elles sont disponibles) ont été créées par l'interpolation linéaire des résultats des relevés nivométriques discrets de 1980 à 2023 du parcours nivométrique adjacent de Log Cabin;
 2. les séries de l'équivalent en eau de la neige pour l'accumulation de neige hâtive (du 1^{er} octobre au 1^{er} mars) et la fonte printanière (du 1^{er} mai au 15 juin) sont dérivées d'estimations de la densité de la neige historiques moyennes observées sur le parcours nivométrique de Log Cabin et de la série continue de l'épaisseur de la neige de la station météorologique Fraser exploitée par Avalanche Canada entre novembre 2019 et juin 2023.

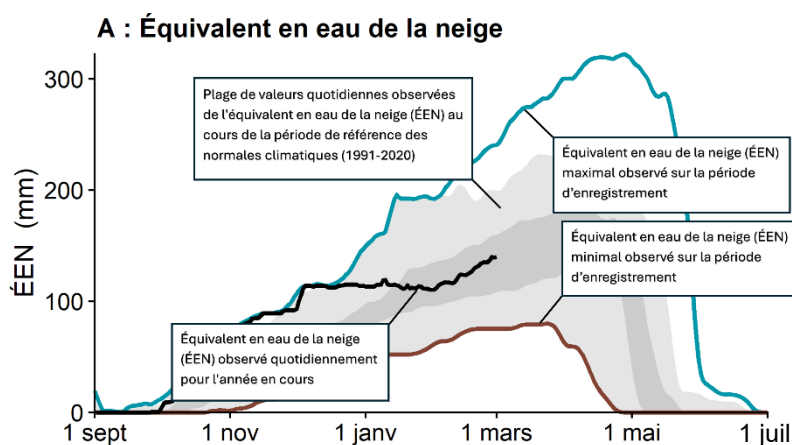
Changements apportés au Bulletin

- Une normale climatique est maintenant calculée pour tous les paramètres. Cette normale correspond à la médiane de la période de référence actuelle, soit d'octobre 1990 à septembre 2020. La période de référence se fonde sur des années hydrologiques par opposition aux années civiles. Voilà qui est important, car l'accumulation de neige commence à se former à l'automne et influence les niveaux et les débits d'eau de l'été suivant. La plage de la normale est représentée par les trames grises dans les graphiques, où l'on voit également les limites maximale et minimale historiques.
- Le Bulletin contient une nouvelle section intitulée « Interprétation du Bulletin ». Ses figures annotées facilitent l'interprétation de l'information présentée.

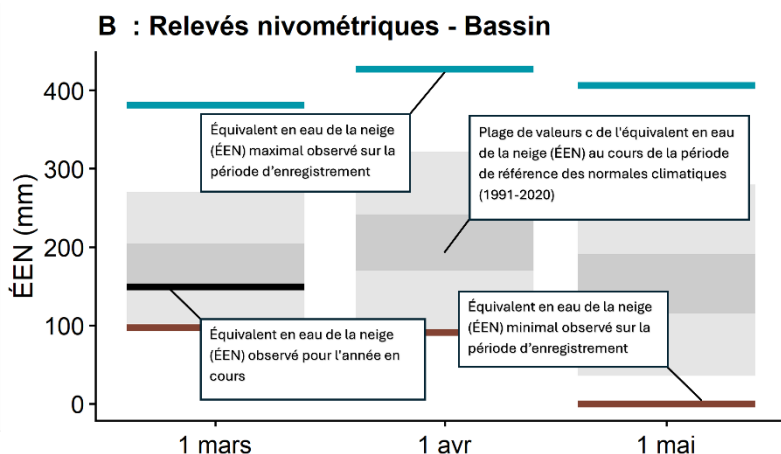
INTERPRÉTATION DU BULLETIN

Les conditions météorologiques hivernales à ce jour sont présentées sur deux cartes : l'une illustrant les anomalies de températures (écarts par rapport à la normale) et l'autre les anomalies de précipitations (pourcentage de la normale). Une troisième carte présente l'accumulation de neige sous forme d'équivalent en eau de la neige (ÉEN) exprimé en pourcentage de la normale pour chaque station, de même que l'ÉEN estimé moyen pour 11 bassins hydrographiques. Si possible, des données météorologiques et hydrologiques complémentaires sont communiquées pour chaque bassin au moyen d'une série de graphiques (voir ci-après). Les bassins ne sont pas tous équipés des instruments permettant de relever des données pour chacune des cinq figures. La normale correspond à la médiane calculée sur une période de référence fixe, soit d'octobre 1990 à septembre 2020. Les trames grises représentent les données de la période de référence : une bande gris pâle supérieure pour les données supérieures à la moyenne, une bande gris foncé pour les données dans la moyenne et une bande gris pâle inférieure pour les données inférieures à la moyenne.

- **Figure A :** ÉEN quotidien à partir de septembre à un endroit précis du bassin hydrographique qui montre l'évolution de l'accumulation de neige durant l'hiver (ligne noire) par rapport aux données historiques de la période de référence d'octobre 1990 à septembre 2020 (trames grises) avec les limites historiques maximale et minimale (lignes bleues et brunes, respectivement) sur la période de relevé.

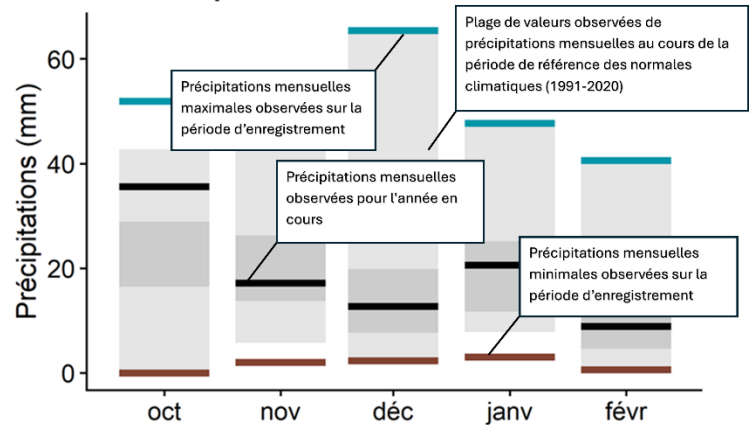


- **Figure B :** Estimation de l'ÉEN moyen du bassin d'après les relevés nivométriques (ligne noire) par rapport aux données historiques de la période de référence d'octobre 1990 à septembre 2020 (trames grises) avec les limites historiques maximale et minimale (lignes bleues et brunes, respectivement) sur la période de relevé. Cette estimation sert d'indicateur du volume de ruissellement possible au printemps (en tenant compte du fait que la sublimation de la neige, l'évapotranspiration, la pluie et la fonte des glaciers influent considérablement sur le ruissellement).



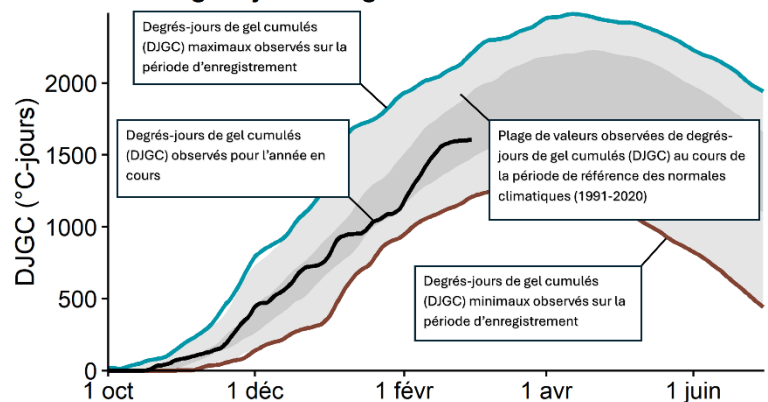
- **Figure C** : Précipitations hivernales mensuelles (pluie et neige; ligne noire) par rapport aux données historiques de la période de référence d'octobre 1990 à septembre 2020 (trames grises) avec les limites historiques maximale et minimale (lignes bleues et brunes, respectivement) sur la période de relevé. Ces données complètent celles illustrées à la figure B.

C : Précipitations mensuelles

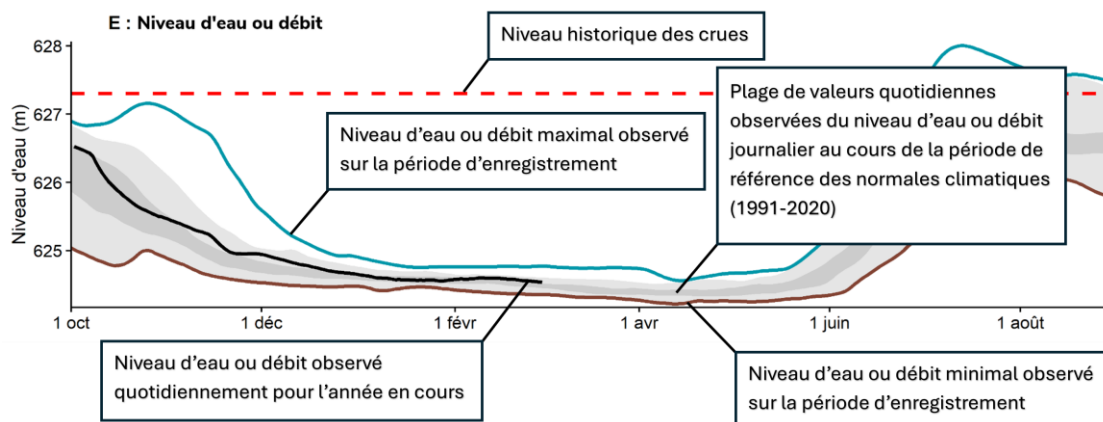


- **Figure D** : Degrés-jours de gel cumulés (somme des températures quotidiennes inférieures à zéro; ligne noire) par rapport aux données historiques de la période de référence d'octobre 1990 à septembre 2020 (trames grises) avec les limites historiques maximale et minimale (lignes bleues et brunes, respectivement) sur la période de relevé. Il s'agit d'un indicateur de la rigueur de l'hiver et de l'épaisseur de la glace fluviale, des variables qui influent sur la débâcle printanière.

D : Degrés-jours de gel cumulés



- **Figure E** : Estimation du débit quotidien ou du niveau d'eau mesuré (ligne noire) par rapport aux données historiques de la période de référence d'octobre 1990 à septembre 2020 (trames grises) avec les limites historiques maximale et minimale (lignes bleues et brunes, respectivement) sur la période de relevé. Elle donne un aperçu des conditions hydrologiques du bassin. Le niveau d'inondation correspond à l'élévation la plus basse à laquelle une inondation pourrait survenir.



CONDITIONS MÉTÉOROLOGIQUES ET NIVOLOGIQUES

L'hiver 2025-2026 a été marqué par de fortes variations climatiques. Le début de l'hiver a été très doux et relativement sec en octobre et en novembre. En décembre, la saison a repris ses droits et été marquée par une période de froid extrême qui n'avait pas été vue depuis des décennies et des chutes de neige records dans le sud du Yukon. L'accumulation de neige et les degrés-jours de gel cumulés ont rapidement rattrapé les normales avant de les dépasser, battant des records en cours de route. Les températures se sont adoucies en janvier, bien que de nombreuses régions aient continué à connaître des chutes de neige supérieures à la normale, une situation qui s'est poursuivie en février. La plus grande accumulation de neige relative semble se trouver en allant vers le sud à partir du sillon Tintina; le bassin de la rivière Stewart est moins touché par les fortes chutes de neige. L'accumulation de neige relative semble plus élevée en basse altitude qu'en haute altitude.

Octobre

Une crête atmosphérique en altitude s'est attardée sur le territoire pendant la majeure partie du mois, ce qui a entraîné des températures plus douces que la normale. En ce qui a trait aux précipitations, des conditions plus sèches ont été constatées sur une grande partie du territoire, sauf à Burwash Landing et à Dawson, où elles ont été, respectivement, près de la normale et plus humides que la normale.

Novembre

De l'air tiède venu du sud a continué de souffler sur le territoire, maintenant les températures supérieures à la normale dans tout le Yukon. Dans la deuxième semaine de novembre, une dépression au-dessus du golfe d'Alaska a amené de fortes chutes de neige dans le sud du territoire. Toutefois, des conditions relativement sèches ont persisté pendant le reste du mois. Quant aux anomalies des précipitations, les conditions ont été plus sèches que la normale à Watson Lake, Burwash Landing et Mayo, où les précipitations enregistrées ont été respectivement d'environ 42 %, 40 % et 46 % des précipitations normales totales.

Décembre

Décembre a été marqué par des conditions météorologiques d'une grande variabilité. En effet, une haute pression arctique au-dessus du territoire a entraîné un froid extrême persistant. Plus précisément, la température mensuelle moyenne à Whitehorse a été de 12,8 degrés inférieure à la normale, tandis que Faro et Mayo ont enregistré des températures de 14,2 et 14,6 degrés en deçà des normales. À certains moments, ce froid s'est accompagné d'air humide en provenance du golfe d'Alaska, passant par-dessus la masse d'air froid de surface et provoquant de fortes chutes de neige dans le sud du Yukon. Par conséquent, Whitehorse, Watson Lake et Burwash Landing ont enregistré respectivement 418 %, 324 % et 220 % de leurs précipitations mensuelles totales habituelles pour décembre. En revanche, à Dawson et à Old Crow les anomalies de précipitations ont été près des normales, tandis que Mayo a connu des conditions plus sèches, avec seulement 38 % de ses précipitations mensuelles totales.

Janvier

En janvier, les températures se sont maintenues près des normales voire légèrement au-dessus dans le sillage de l'anticyclone arctique. En ce qui concerne les précipitations, des conditions plus humides que la normale ont été constatées sur la majorité du territoire. À Dawson, les précipitations ont atteint 238 % de la normale totale. En revanche, les conditions ont été plus sèches à Burwash Landing, où les précipitations ont atteint 78 % de la normale totale.

Février

En février, les températures sont restées dans les normales pour tout le Yukon, quoiqu'elles aient été plus froides que la normale à Mayo. Les précipitations sont demeurées humides sur une grande partie du centre et du sud du Yukon; elles ont été près des normales à Old Crow.

Accumulation de neige

Les données sur l'accumulation de neige pour le territoire sont présentées sur la carte 3, ci-dessous, qui montre l'ÉEN exprimé en pourcentage de la normale pour chaque station, de même que l'ÉEN estimé moyen pour 11 bassins hydrographiques. Pour 2026, les résultats des relevés nivométriques sont comparés avec les données historiques d'une période de référence normale (la période de référence 1991-2020). La normale correspond à la médiane de la période de référence de l'automne 1990 au printemps 2020. Il est à noter que la période de référence utilise des années hydrologiques et non pas des années civiles. Il s'agit là d'une précision importante, car l'accumulation de neige commence à se former à l'automne et influence les niveaux et les débits d'eau de l'été suivant.

Selon le relevé nivométrique du 1^{er} mars, l'accumulation de neige varie : elle se situe près de la normale dans le bassin de la rivière Stewart et bien au-delà de la normale dans le bassin des rivières Teslin et Big Salmon.

Au 1^{er} mars, l'accumulation est bien supérieure à la normale dans les bassins des rivières Teslin et Big Salmon (153 %), le bassin central du fleuve Yukon (région de Carmacks) (147 %), le bassin de la rivière White (147 %), le bassin de la rivière Liard (146 %) et le bassin inférieur du fleuve Yukon (région de Dawson et du Klondike) (136 %). L'accumulation est supérieure à la normale dans le bassin supérieur du fleuve Yukon (lacs du Sud/Whitehorse) (130 %) et les bassins des rivières Peel (127 %), Pelly (122 %) et Alsek (110 %). L'accumulation de neige est près de la normale dans le bassin de la rivière Stewart (98 %). Les conditions météorologiques défavorables dans les eaux d'amont du bassin de la rivière Porcupine n'ont pas permis de recueillir suffisamment de données nivométriques et donc de produire une estimation de l'accumulation de neige au 1^{er} mars pour ce bassin. Toutefois, le relevé nivométrique d'Old Crow a enregistré une accumulation de neige normale et la modélisation climatique montre une accumulation près de la normale pour le bassin.

CONDITIONS D'ÉCOULEMENT ET PERSPECTIVES

L'estimation de l'écoulement hivernal (débit de base) repose sur une combinaison de mesures saisonnières périodiques, de données historiques et de tendances régionales. Bien que des mesures aient été prises récemment dans la plupart des stations, il est à noter que les estimations de l'écoulement sont provisoires pour chaque station.

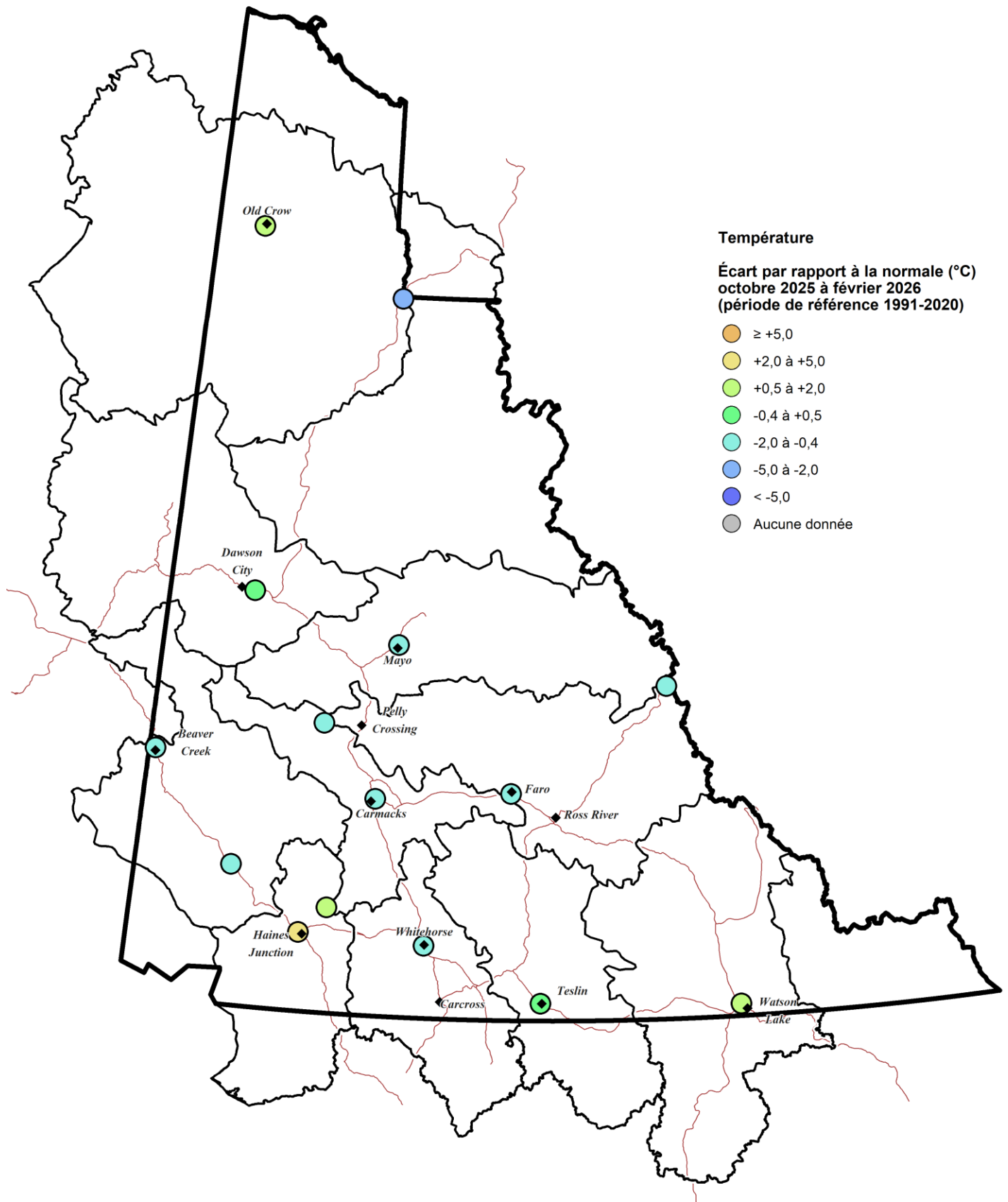
Le débit hivernal des cours d'eau et le niveau des lacs sont présentés pour un ou deux emplacements de référence d'importance dans chaque bassin. L'écoulement hivernal et les niveaux d'eau sont influencés par de nombreux facteurs, notamment l'accumulation de neige de l'hiver précédent, les précipitations annuelles, l'état des eaux souterraines, le moment où a eu lieu le gel et la transformation du paysage. Le débit de base hivernal tend à augmenter partout dans le territoire, une tendance dont fait état le [Rapport sur l'état de l'environnement](#) du Yukon. Les prévisions tendent vers l'humidification du climat du Yukon, mais il est aussi possible que la dégradation du pergélisol contribue à l'accroissement de la recharge des eaux souterraines, ce qui amplifierait le débit de base hivernal.

On estime que l'écoulement hivernal (débit de base) actuel est bien supérieur à la normale dans la majeure partie du bassin du fleuve Yukon, à l'exception de la rivière Nordenskiöld près de Carmacks, où il est inférieur à la normale. Le niveau d'eau du lac Marsh est également inférieur à la normale. Le débit des rivières Alsek, Peel et Porcupine est bien supérieur à la normale. La rivière Liard fait exception, puisque son débit de base est inférieur à la normale pour la période de l'année.

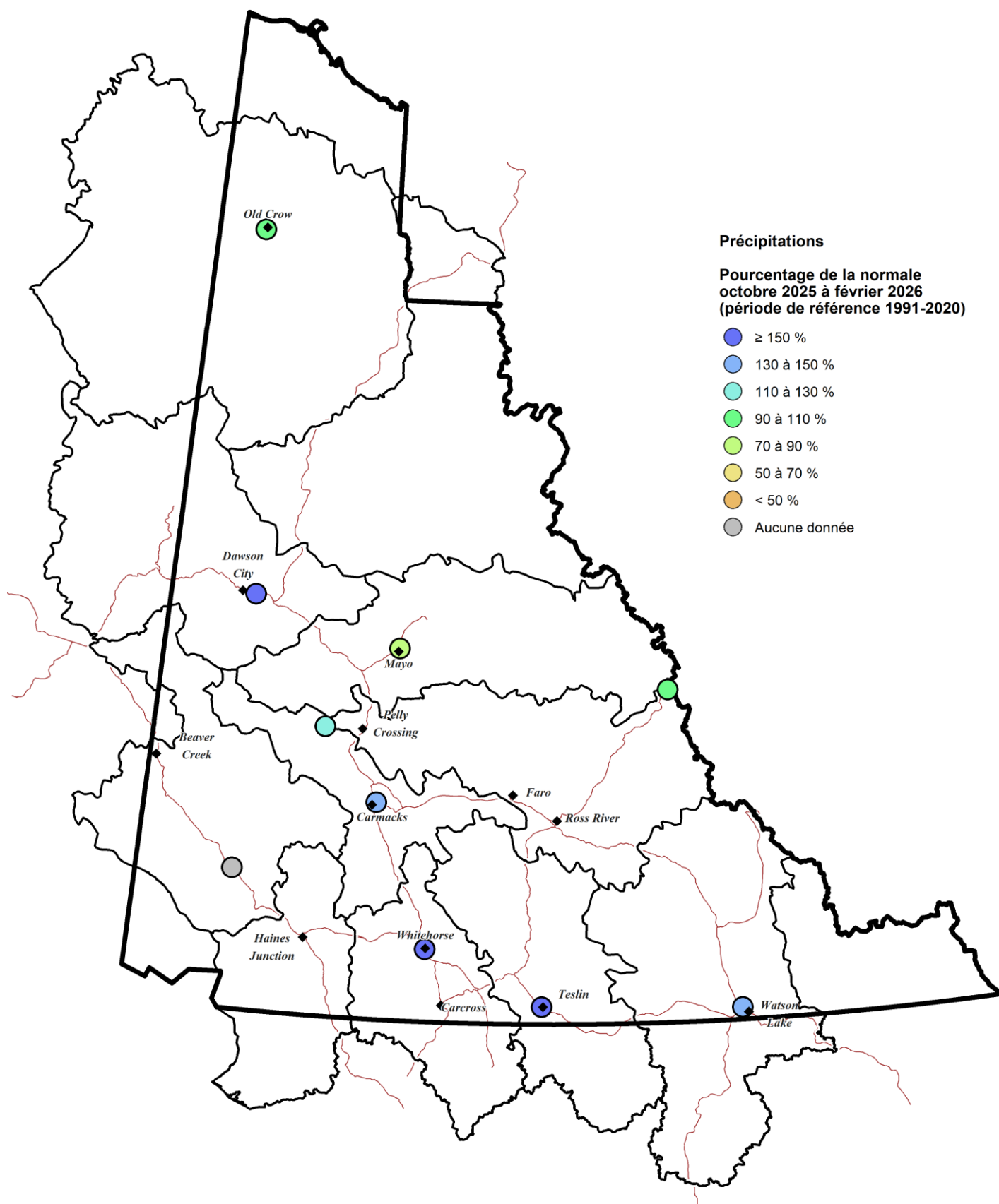
Étant donné l'accumulation de neige qui est actuellement supérieure à la normale, la majeure partie du territoire devrait connaître des volumes de crue légèrement supérieurs à la normale ou bien supérieurs à la normale. Les rivières Stewart et Mayo et leurs affluents font exception et tendent à se rapprocher des volumes de crue normaux.

En général, les relevés nivométriques du 1^{er} avril montrent la plus haute valeur de l'équivalent en eau de la neige de l'hiver et constituent le meilleur indicateur du risque d'inondation dû aux crues. Cependant, l'accumulation de neige actuelle suggère un risque d'inondation dû aux crues supérieur à la moyenne pour les petits ruisseaux des bassins des rivières Teslin, Big Salmon, White et Liard, et dans le bassin inférieur, central et supérieur du fleuve Yukon (Lacs du Sud et Whitehorse). Le risque d'inondation est accru pour les localités de Teslin et d'Upper Liard et la vallée du Klondike. L'accumulation de neige dans le bassin inférieur des lacs du Sud est bien supérieure à la normale, mais près de la normale en altitude. Bien que l'accumulation de neige supérieure à la normale augmente le risque d'inondation dans la région des lacs du Sud, ce risque dépend également du moment de la fonte des neiges, des précipitations estivales et de la fonte des glaciers, ce qui rend la situation plus incertaine pour cette région que pour d'autres localités. Le niveau d'eau du lac Marsh qui est resté inférieur à la moyenne tout au long de l'hiver indique également un niveau de l'eau souterraine inférieur à la moyenne, une constatation qui est renforcée par la surveillance en temps réel des eaux souterraines dans plusieurs secteurs de la région.

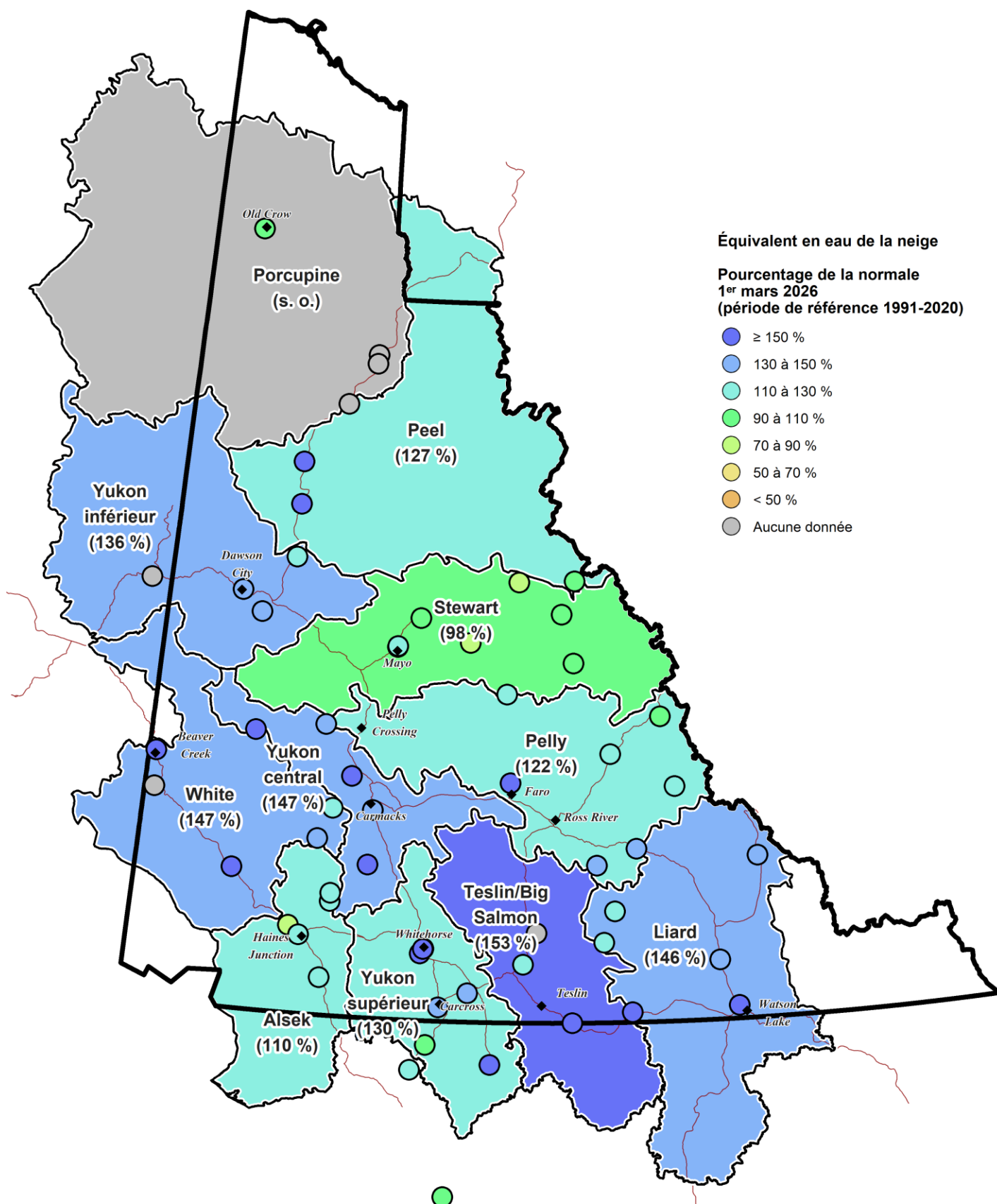
CARTE 1. ANOMALIES DES TEMPÉRATURES



CARTE 2. PRÉCIPITATIONS

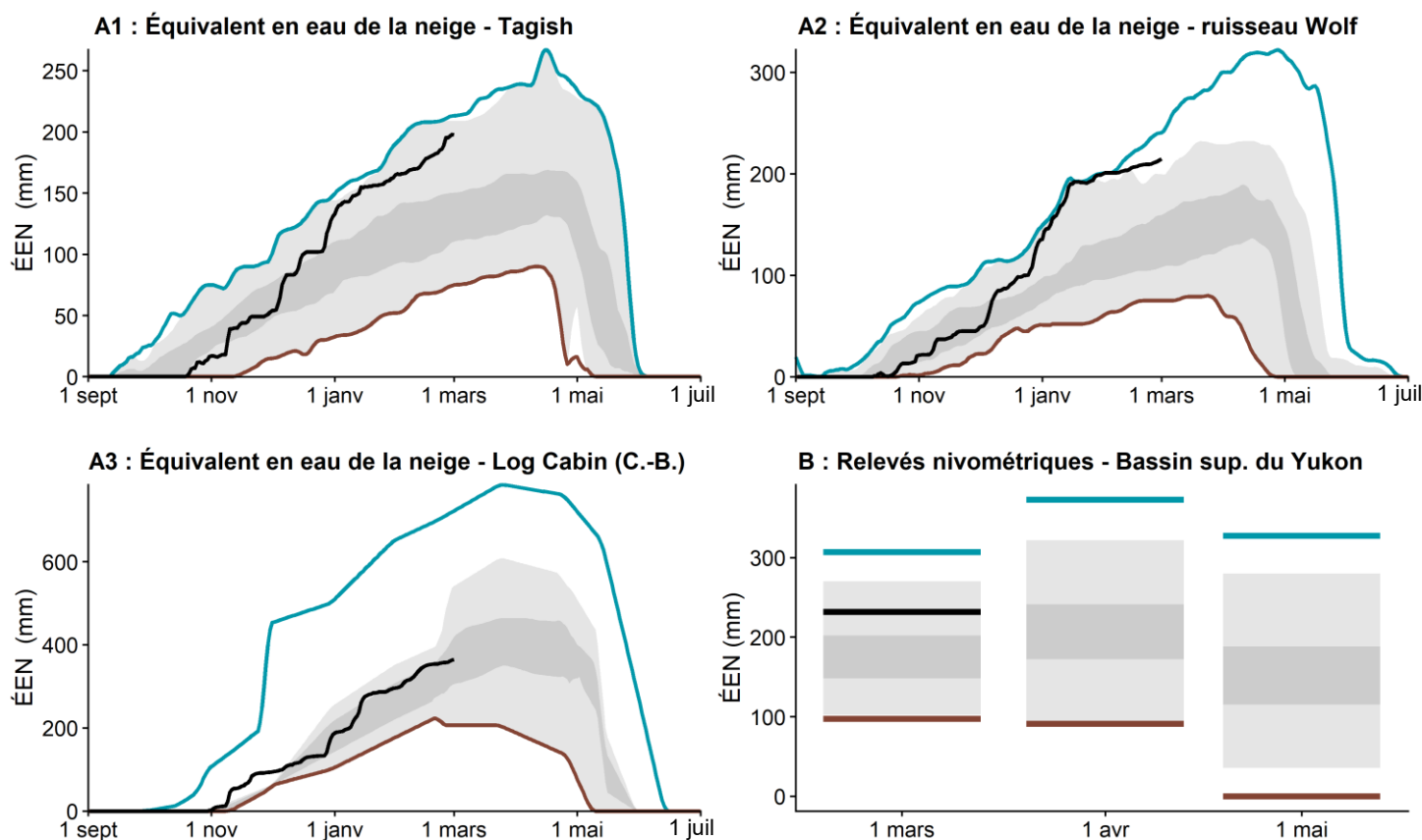


CARTE 3. ÉQUIVALENT EN EAU DE LA NEIGE

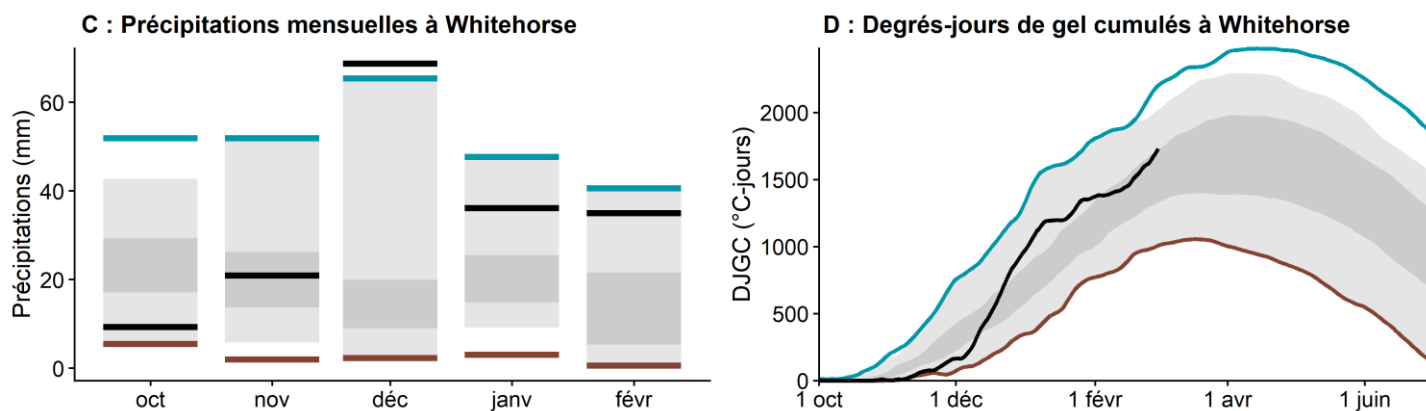


BASSIN SUPÉRIEUR DU FLEUVE YUKON (LACS DU SUD / WHITEHORSE)

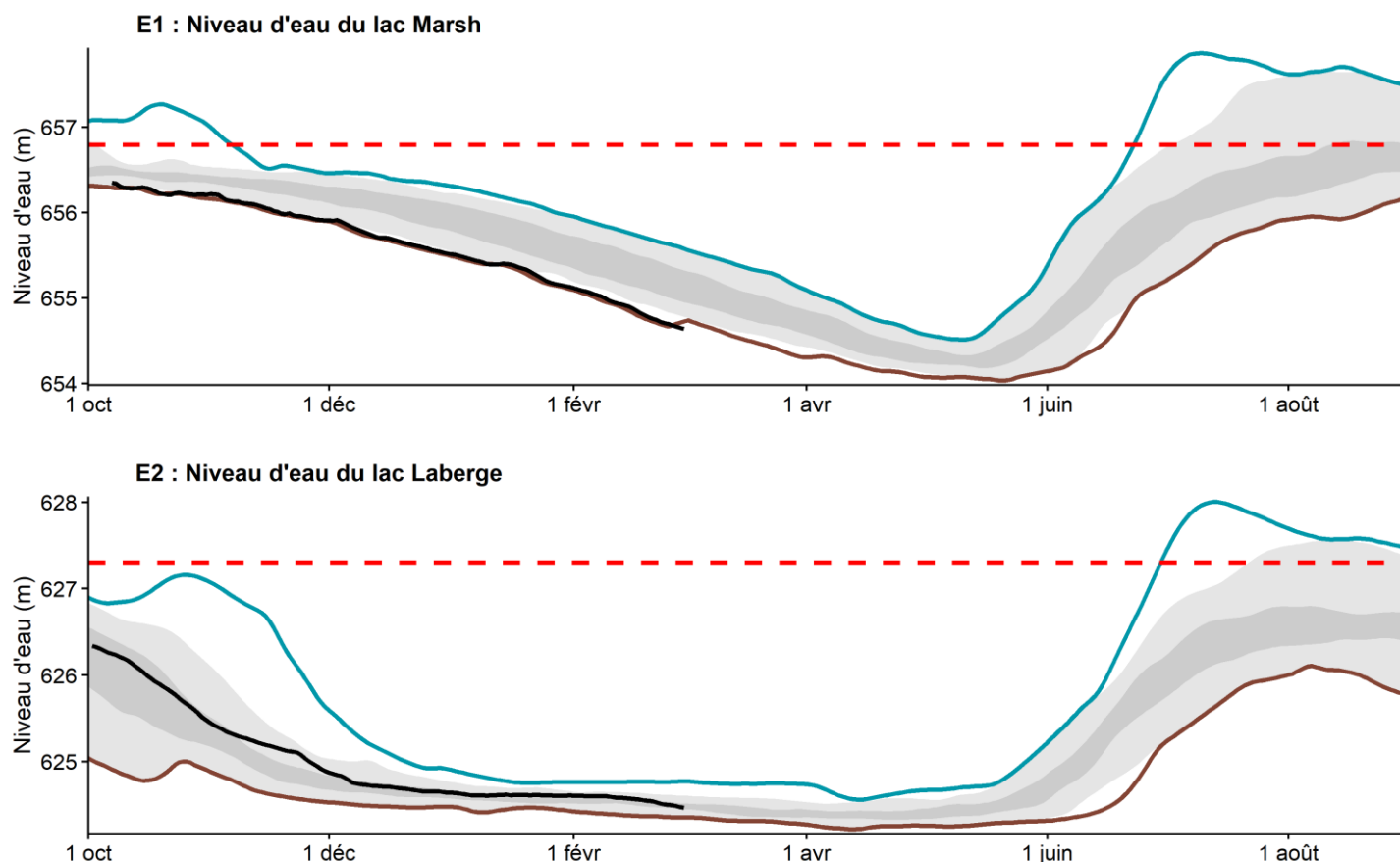
L'accumulation de neige dans le bassin supérieur du fleuve Yukon est **supérieure à la normale**. À la station météorologique de Tagish, l'équivalent en eau de la neige (ÉEN) est estimé à **148 %** de la normale (figure A1), tandis qu'à la station météorologique subalpine du ruisseau Wolf, il est estimé à **173 %** de la normale (figure A2). Installée en 2023, la station météorologique de Log Cabin a enregistré un équivalent en eau de la neige (ÉEN) correspondant à **101 %** de la normale si l'on compare avec les archives du relevé manuel de l'enneigement pour cet emplacement (figure A3). Au 1^{er} mars, l'ÉEN moyen du bassin est estimé à **130 %** de la normale, soit **232 mm** (figure B).



Les précipitations à Whitehorse ont été **bien supérieures à la normale** d'octobre à février (figure C). Au 1^{er} mars, les précipitations hivernales cumulatives se chiffrent à **187 %** de la normale et les degrés-jours de gel cumulés à **119 %** de la normale, soit **1 729 °C-jours** (figure D), ce qui laisse croire que la couverture de glace sur les lacs et les cours d'eau de la région est plus épaisse que la normale.

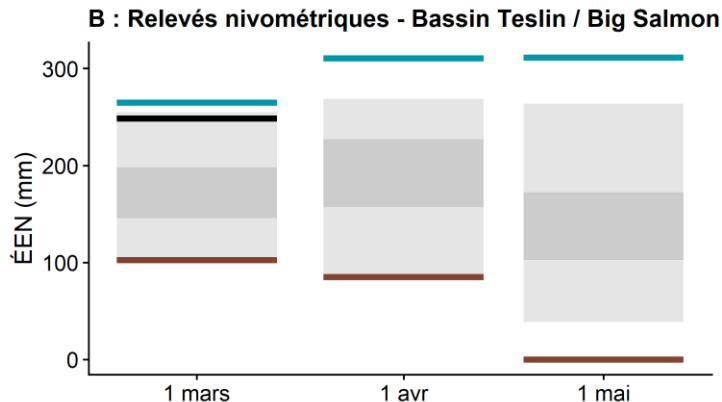


L'élévation de la surface de l'eau (par rapport au niveau de la mer) du lac Marsh est **bien inférieure à la normale** (figure E1). Les conditions d'enneigement et des eaux souterraines portent à croire que les niveaux d'eau seront **supérieurs à la normale** cet été. Toutefois, les conditions météorologiques au printemps et à l'été exerceront une influence décisive sur le niveau d'eau maximal du lac Marsh, qui est habituellement atteint à la fin de l'été sous l'effet d'un ruissellement glaciaire maximal et de précipitations abondantes. L'élévation de la surface de l'eau du lac Laberge est **dans la normale** (figure E2). Le lac Laberge suit une tendance estivale semblable à celle observée dans la partie supérieure des lacs du Sud. On s'attend à ce que son niveau soit **supérieur à la normale** cet été.

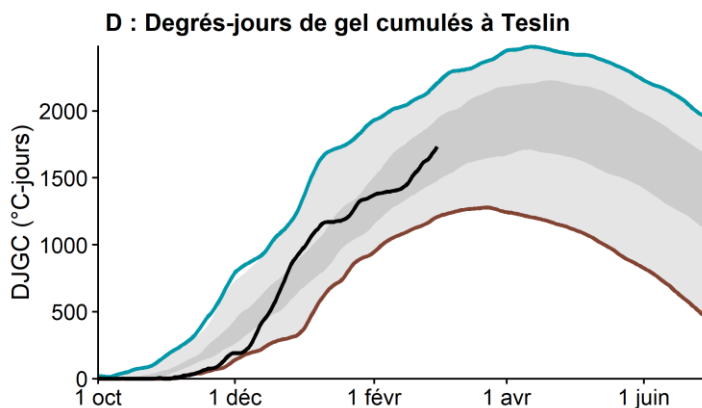
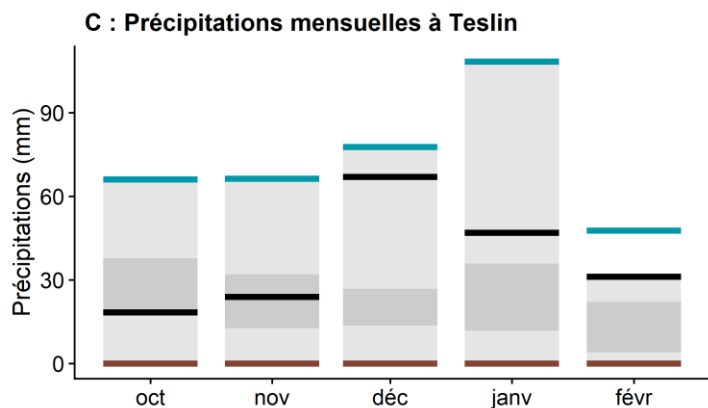


BASSIN DES RIVIÈRES TESLIN ET BIG SALMON

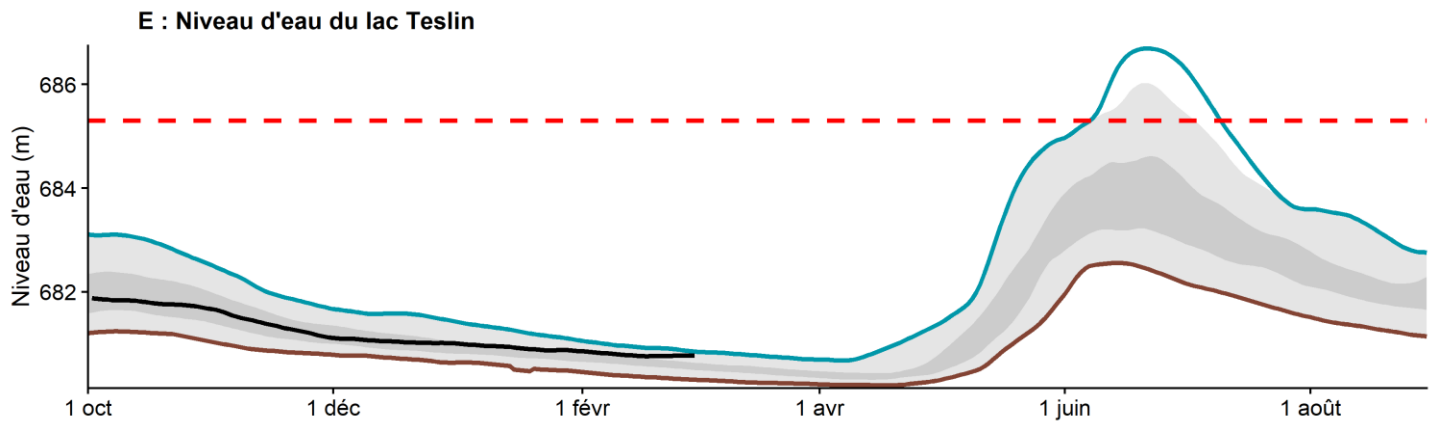
L'accumulation de neige dans le bassin est **bien supérieure à la normale**. Au 1^{er} mars, l'équivalent en eau de la neige moyen du bassin est estimé à **153 %** de la normale, soit **248 mm** (figure B).



Les précipitations à Teslin ont été **bien supérieures à la normale** d'octobre à février (figure C). Au 1^{er} mars, les précipitations hivernales cumulatives se chiffrent à **170 %** de la normale et les degrés-jours de gel cumulés à **106 %** de la normale, soit **1 733 °C-jours** (figure D), ce qui laisse croire que l'épaisseur de la glace sur les lacs et les cours d'eau de la région est près de la normale.

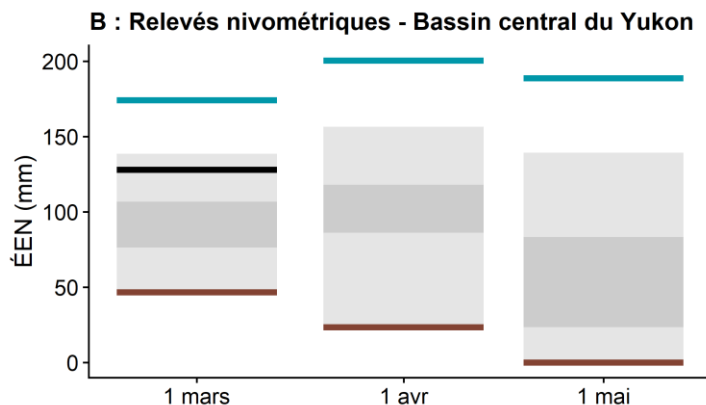


L'élévation de la surface de l'eau (par rapport au niveau de la mer) du lac Teslin est **bien supérieure à la normale** (figure C). Principalement influencé par la fonte des neiges, le lac atteint généralement son niveau maximal vers la fin juin. L'accumulation de neige **bien supérieure à la normale** et le niveau d'eau **bien supérieur à la normale** portent à croire que les niveaux estivaux seront **bien supérieurs à la normale**. Les niveaux d'eau maximaux dépendront de la situation météorologique du printemps.

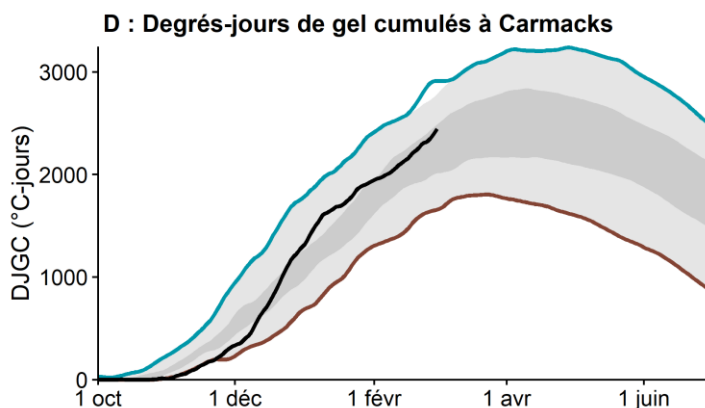
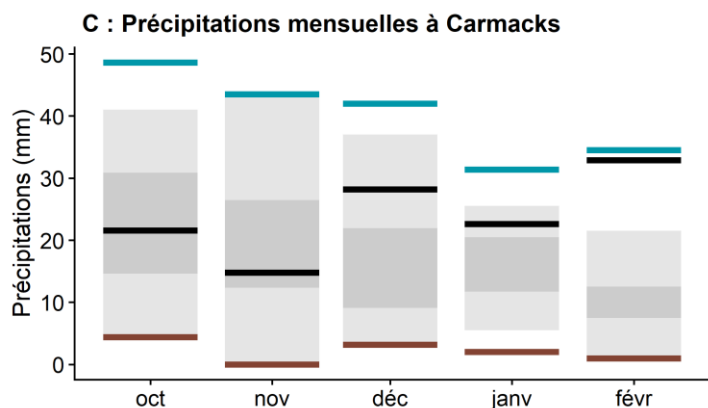


BASSIN CENTRAL DU FLEUVE YUKON (RÉGION DE CARMACKS)

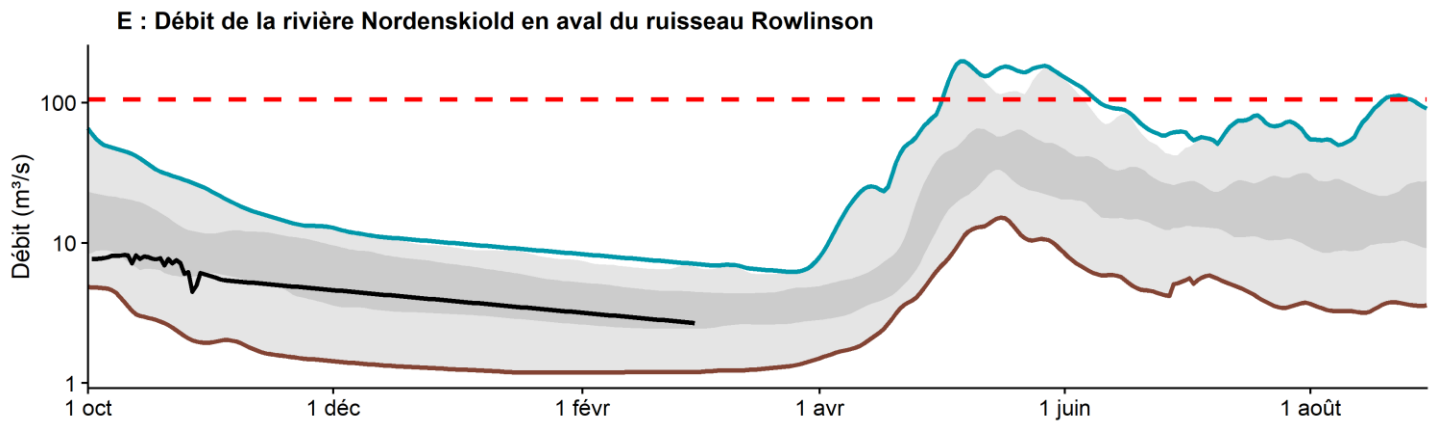
L'accumulation de neige dans le bassin central du fleuve Yukon est **bien supérieure à la normale**. Au 1^{er} mars, l'équivalent en eau de la neige moyen du bassin est estimé à **147 %** de la normale, soit **128 mm** (figure B).



Les précipitations à Carmacks ont été **bien supérieures à la normale** d'octobre à février (figure C). Au 1^{er} mars, les précipitations hivernales cumulatives se chiffrent à **142 %** de la normale et les degrés-jours de gel cumulés à **106 %** de la normale, soit **2 443 °C-jours** (figure D), ce qui laisse croire que l'épaisseur de la glace sur les lacs et les cours d'eau de la région est près de la normale.

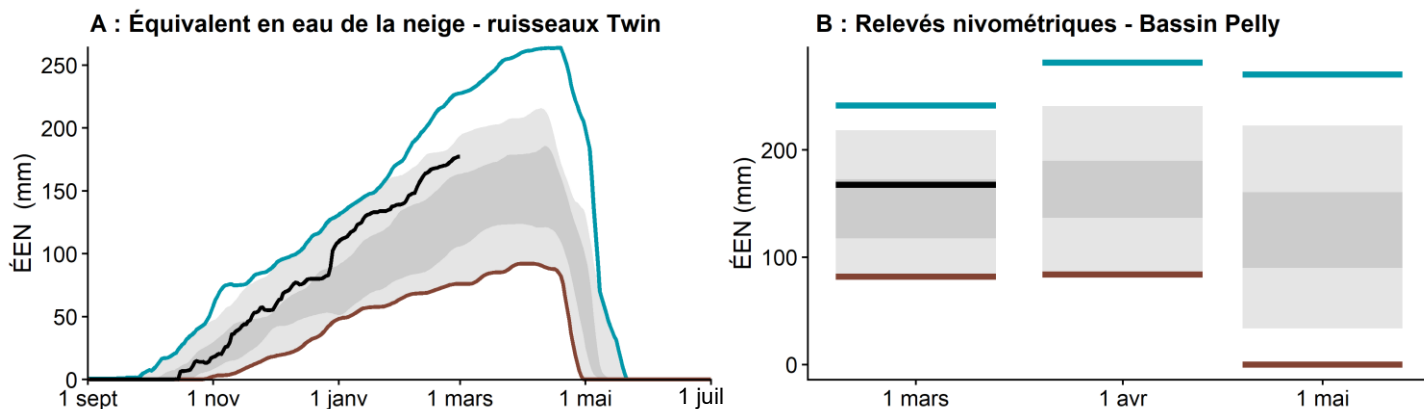


Le débit estimé de la rivière Nordenskiöld est **inférieur à la normale** (figure E). L'accumulation de neige **bien supérieure à la normale**, combinée à des débits hivernaux **inférieurs à la normale** dans le bassin, laisse croire que le volume de ruissellement des crues printanières sera **bien supérieur à la normale**. La situation météorologique qui précédera la débâcle et les crues printanières exerceront une influence décisive sur les niveaux d'eau maximaux et la gravité d'un éventuel embâcle.

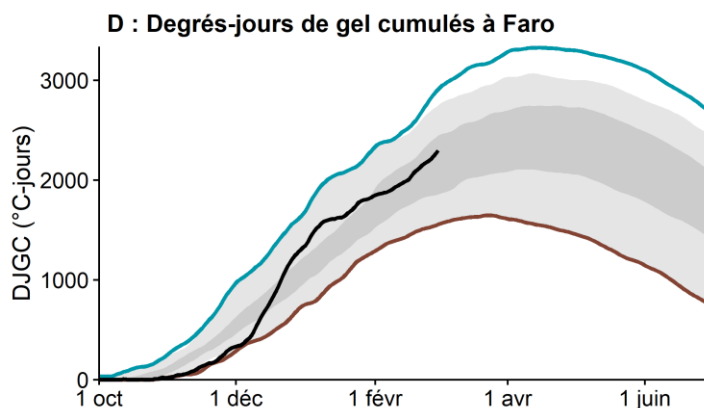


BASSIN DE LA RIVIÈRE PELLY

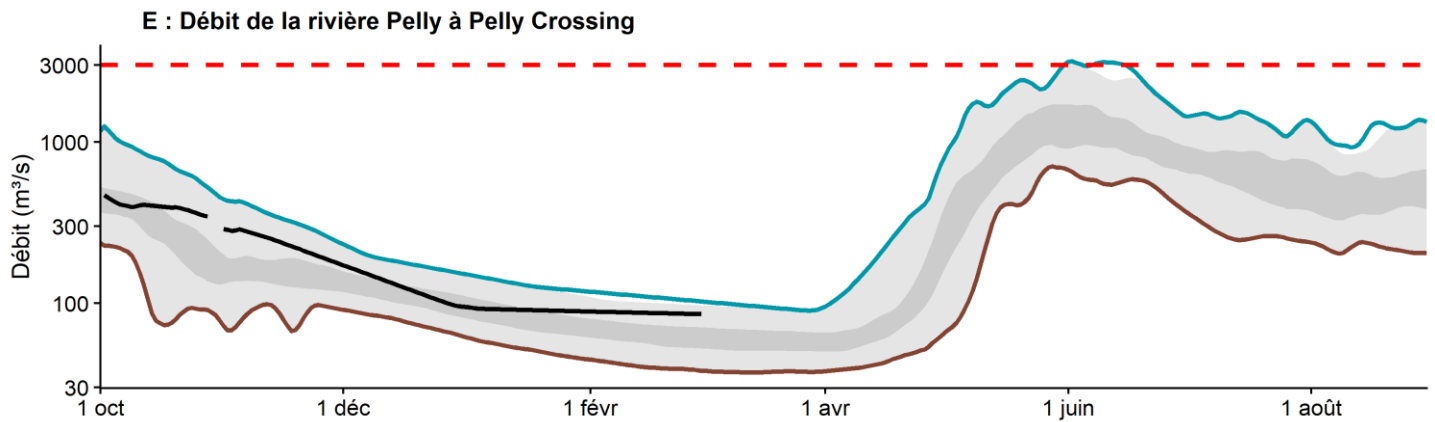
L'accumulation de neige dans le bassin de la rivière Pelly est **supérieure à la normale**. À la station météorologique des ruisseaux Twin, l'équivalent en eau de la neige (ÉEN) est estimé à **145 %** de la normale (figure A). Au 1^{er} mars, l'ÉEN moyen du bassin est estimé à **122 %** de la normale, soit **168 mm** (figure B).



Il n'y a pas de données de précipitations pour Faro, mais les données sur l'accumulation de neige indiquent que les précipitations hivernales ont été **supérieures à la normale**. Au 1^{er} mars, les degrés-jours de gel cumulés se chiffrent à **108 %** de la normale, soit **2 294 °C-jours** (figure D), ce qui laisse croire que l'épaisseur de la glace sur les lacs et les cours d'eau de la région est près de la normale.

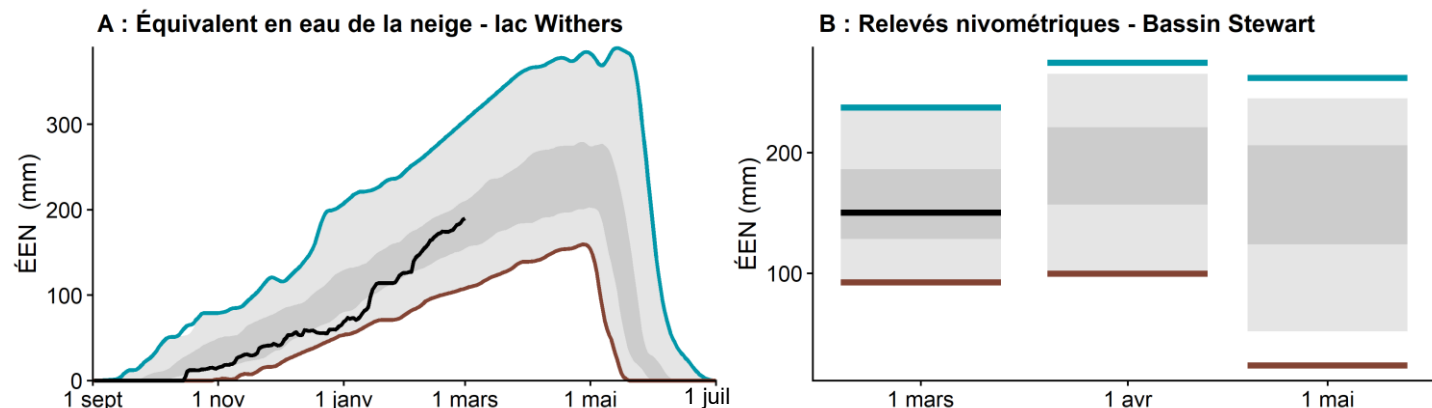


Le débit estimé de la rivière Pelly à Pelly Crossing est **bien supérieur à la normale** (figure E). L'accumulation de neige **supérieure à la normale**, combinée à des débits hivernaux **bien supérieurs à la normale** dans le bassin, laisse croire que le volume de ruissellement des crues printanières sera **supérieur à la normale**. La situation météorologique qui précédera la débâcle et les crues printanières exerceront une influence décisive sur les niveaux d'eau maximaux et la gravité d'un éventuel embâcle.

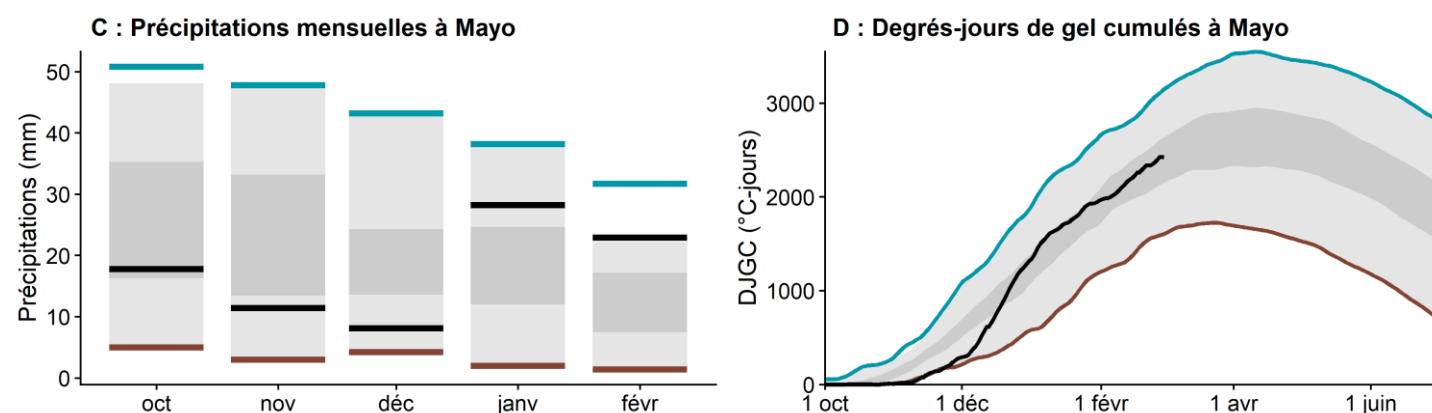


BASSIN DE LA RIVIÈRE STEWART

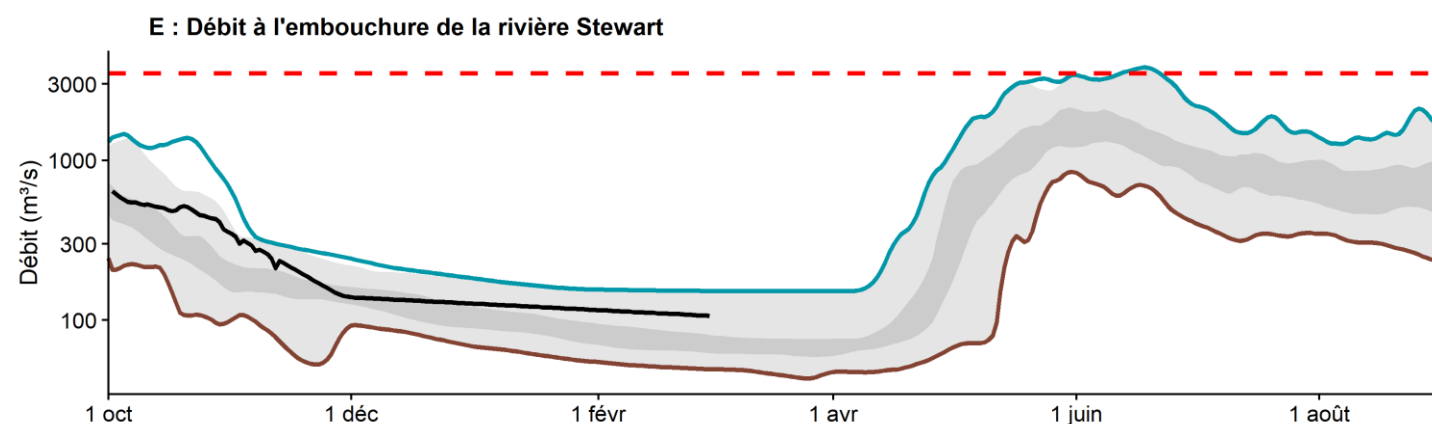
L'accumulation de neige dans le bassin de la rivière Stewart est **dans la normale**. À la station météorologique du lac Withers, l'équivalent en eau de la neige (ÉÉN) est estimé à **110 %** de la normale (figure A). Au 1^{er} mars, l'ÉÉN moyen du bassin est estimé à **98 %** de la normale, soit **150 mm** (figure B).



Les précipitations à Mayo ont été **inférieures à la normale** d'octobre à février (figure C). Au 1^{er} mars, les précipitations hivernales cumulatives se chiffrent à **89 %** de la normale et les degrés-jours de gel cumulés à **98 %** de la normale, soit **2 424 °C-jours** (figure D), ce qui laisse croire que l'épaisseur de la glace sur les lacs et les cours d'eau de la région est dans la normale.

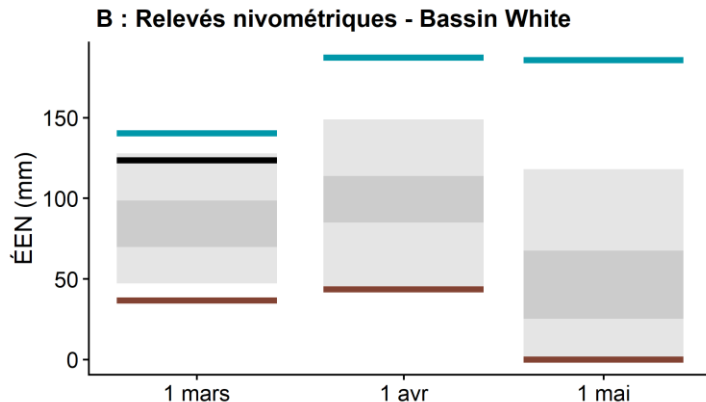


Le débit estimé de la rivière Stewart à son exécutoire est **bien supérieur à la normale** (figure E). L'accumulation de neige **dans la normale**, combinée à des débits hivernaux **bien supérieurs à la normale** dans le bassin, laisse croire que le volume de ruissellement des crues printanières sera **près de la normale**. Les conditions météorologiques de mars et d'avril détermineront le scénario printanier le plus probable.

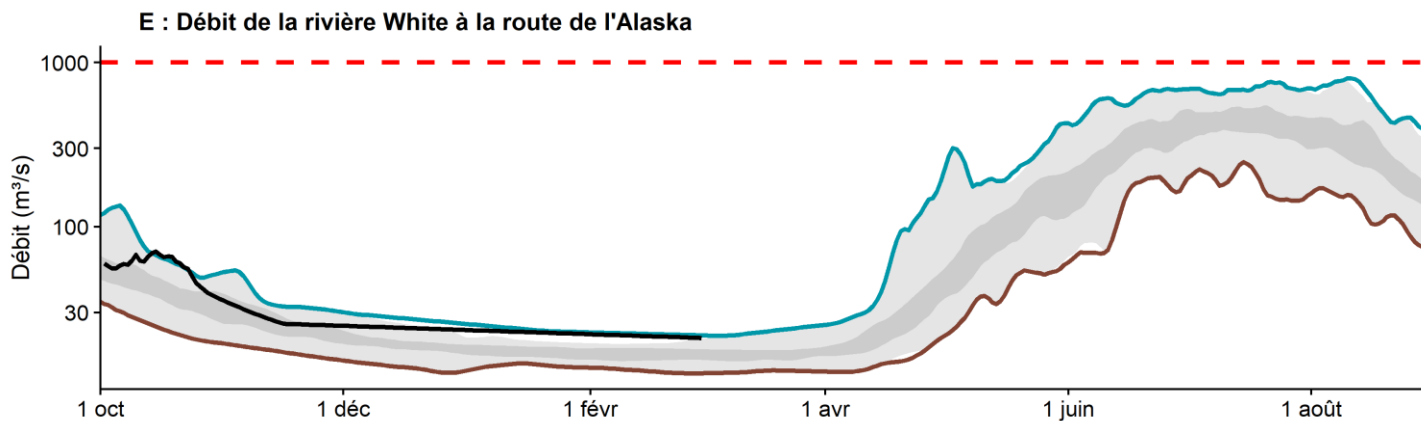


BASSIN DE LA RIVIÈRE WHITE

L'accumulation de neige dans le bassin de la rivière White est **bien supérieure à la normale**. Au 1^{er} mars, l'équivalent en eau de la neige moyen du bassin est estimé à **147 %** de la normale, soit **124 mm** (figure B).

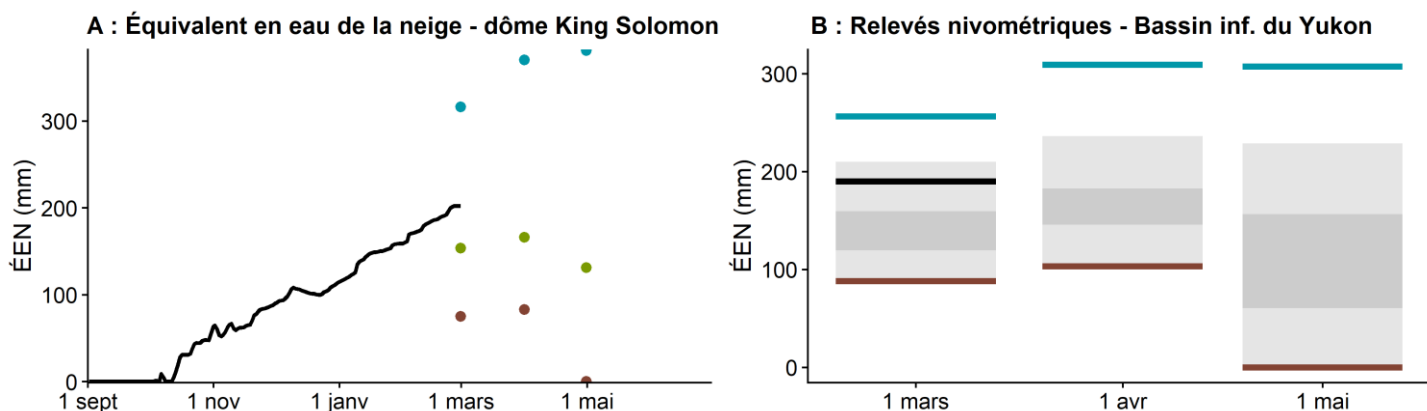


Le débit estimé de la rivière White à la route de l'Alaska est **bien supérieur à la normale** (figure E). Dans ce bassin hydrographique, les débits élevés sont dominés par la fonte des neiges en montagne et la fonte des glaciers, qui sont largement influencés par les températures et les précipitations estivales. L'accumulation de neige **bien supérieure à la normale**, combinée à des débits hivernaux **bien supérieurs à la normale**, laisse croire que le volume de ruissellement des crues printanières sera **bien supérieur à la normale**. Les débits de pointe dépendront des conditions météorologiques au printemps et à l'été.

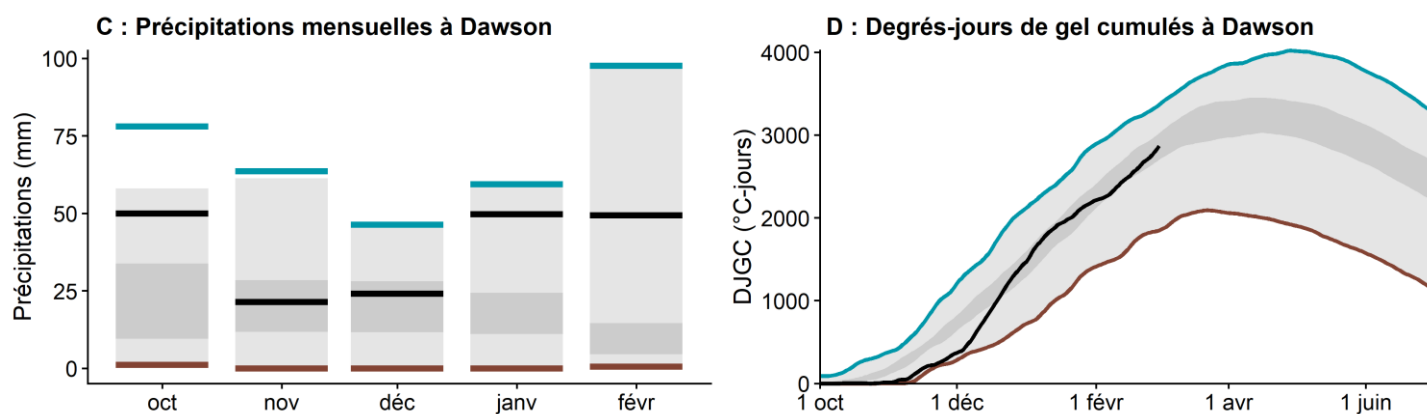


BASSIN INFÉRIEUR DU FLEUVE YUKON (RÉGION DE DAWSON / DU KLONDIKE)

L'accumulation de neige dans le bassin inférieur du fleuve Yukon est **bien supérieure à la normale**. Installée en 2022, la station météorologique du dôme King Solomon a enregistré un équivalent en eau de la neige (ÉEN) de **129 %** de la normale par rapport aux relevés nivométriques manuels pour cet emplacement (figure A). Au 1^{er} mars, l'ÉEN moyen du bassin est estimé à **136 %** de la normale, soit **190 mm** (figure B).

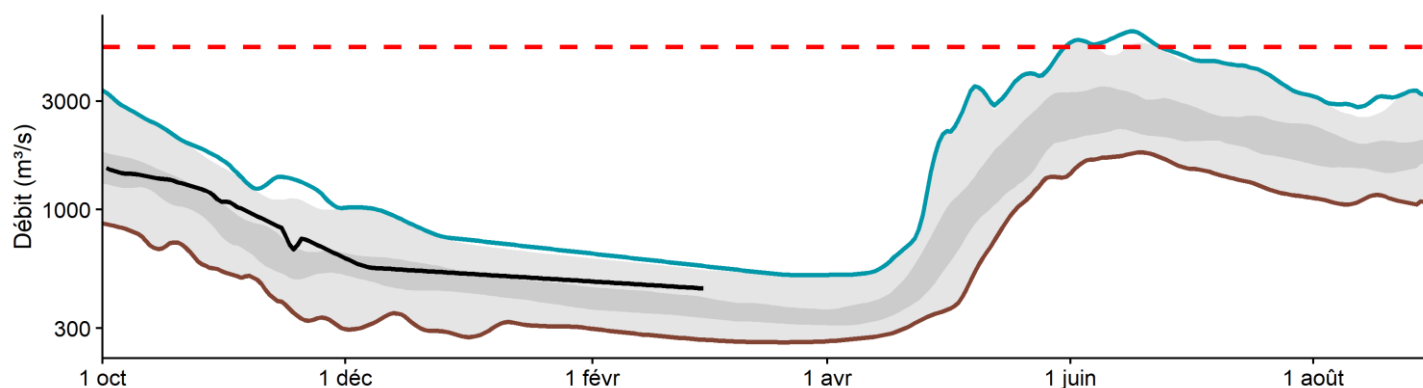


Les précipitations à l'aéroport de Dawson ont été **bien supérieures à la normale** d'octobre à février (figure C). Au 1^{er} mars, les précipitations hivernales cumulatives se chiffrent à **202 %** de la normale et les degrés-jours de gel cumulés à **101 %** de la normale, soit **2 866 °C-jours** (figure D), ce qui laisse croire que l'épaisseur de la glace sur les lacs et les cours d'eau de la région est dans la normale.

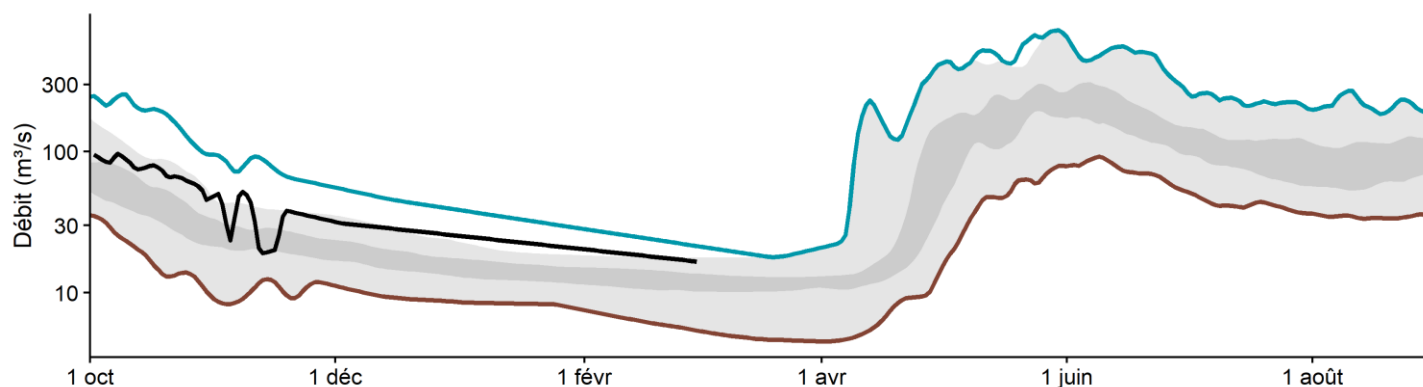


Le débit estimé du fleuve Yukon en amont de la rivière White est **bien supérieur à la normale** (figure E1). Le débit estimé de la rivière Klondike en amont du ruisseau Bonanza est aussi **bien supérieur à la normale** (figure E2). L'accumulation de neige **supérieure à la normale** en amont, combinée à des débits hivernaux **bien supérieurs à la normale**, laisse croire que le volume de ruissellement des crues printanières du fleuve Yukon sera **supérieur à la normale**. L'accumulation de neige **bien supérieure à la normale** dans le bassin de la rivière Klondike laisse croire que le volume de ruissellement des crues printanières sera **bien supérieur à la normale**. La situation météorologique qui précédera la débâcle et les crues printanières exerceront une influence décisive sur les niveaux d'eau maximaux et la gravité d'un éventuel embâcle.

E1 : Débit du fleuve Yukon en amont de la rivière White

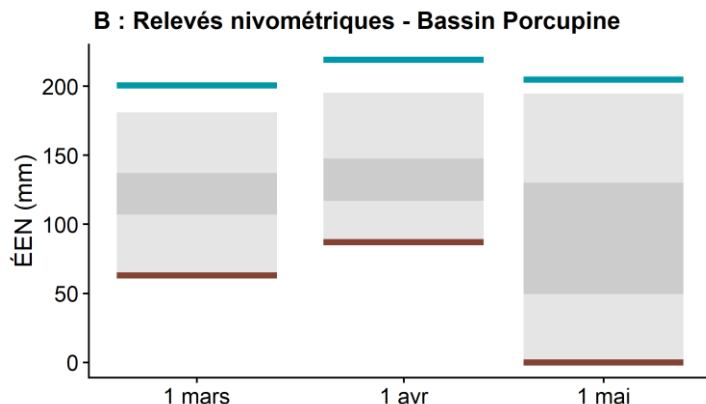


E2 : Débit de la rivière Klondike en amont du ruisseau Bonanza

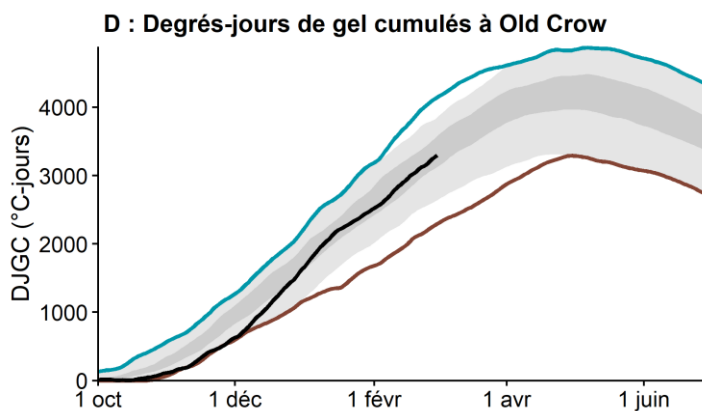
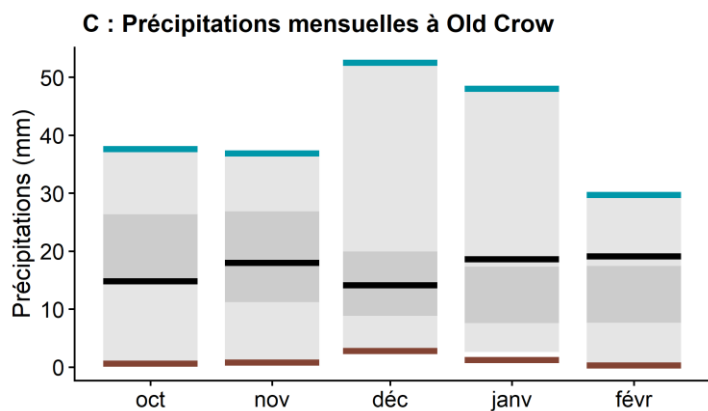


BASSIN DE LA RIVIÈRE PORCUPINE

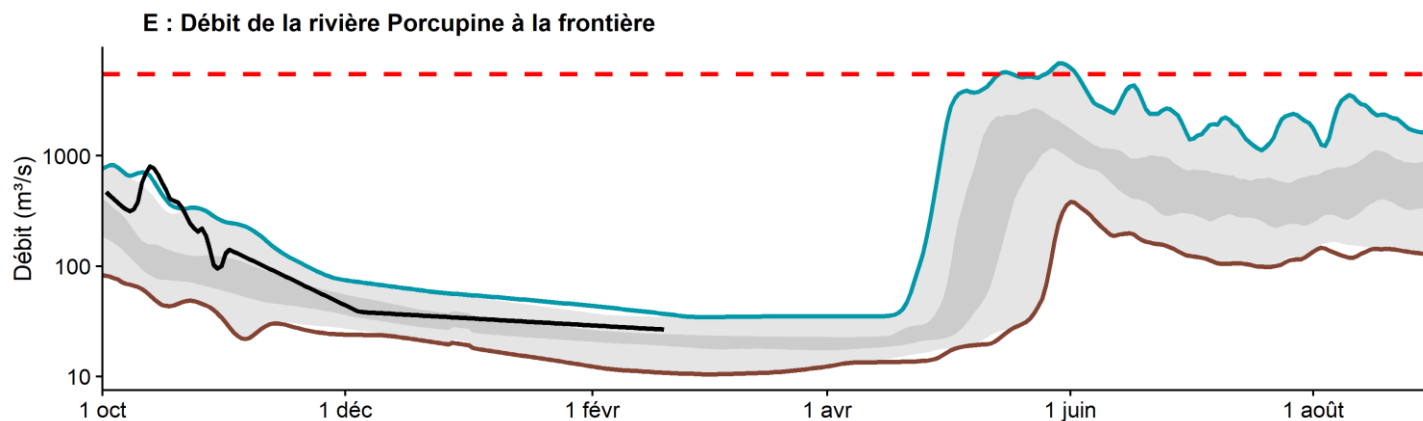
L'accumulation de neige dans le bassin de la rivière Porcupine n'a pas pu être estimée pour le 1^{er} mars en raison d'un manque de données (figure B). Des avalanches sur la route Dempster ont empêché l'accès aux principaux parcours nivométriques du bassin. Toutefois, le parcours nivométrique d'Old Crow a enregistré une accumulation de neige correspondant à **102 %** de la normale et la modélisation climatique montre que l'accumulation serait près de la normale pour le bassin.



Les précipitations à l'aéroport d'Old Crow ont été **près de la normale** d'octobre à février (figure C). Au 1^{er} mars, les précipitations hivernales cumulatives se chiffrent à **105 %** de la normale et les degrés-jours de gel cumulés à **98 %** de la normale, soit **3 296 °C-jours** (figure D), ce qui laisse croire que l'épaisseur de la glace sur les lacs et les cours d'eau de la région est dans la normale.

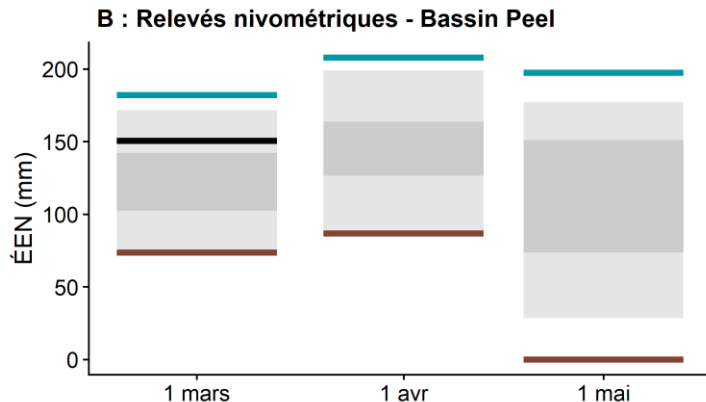


Le débit estimé de la rivière Porcupine est **bien supérieur à la normale** (figure E). Les données disponibles indiquent que l'accumulation de neige est **près de la normale** et que, par conséquent, le ruissellement des crues sera aussi **près de la normale**. Les données sur l'accumulation de neige au 1^{er} avril, combinées aux débits hivernaux, permettront d'avancer des estimations de crue printanière dans le prochain bulletin. La situation météorologique qui précédera la débâcle et les crues printanières exerceront une influence décisive sur les niveaux d'eau maximaux et la gravité d'un éventuel embâcle.

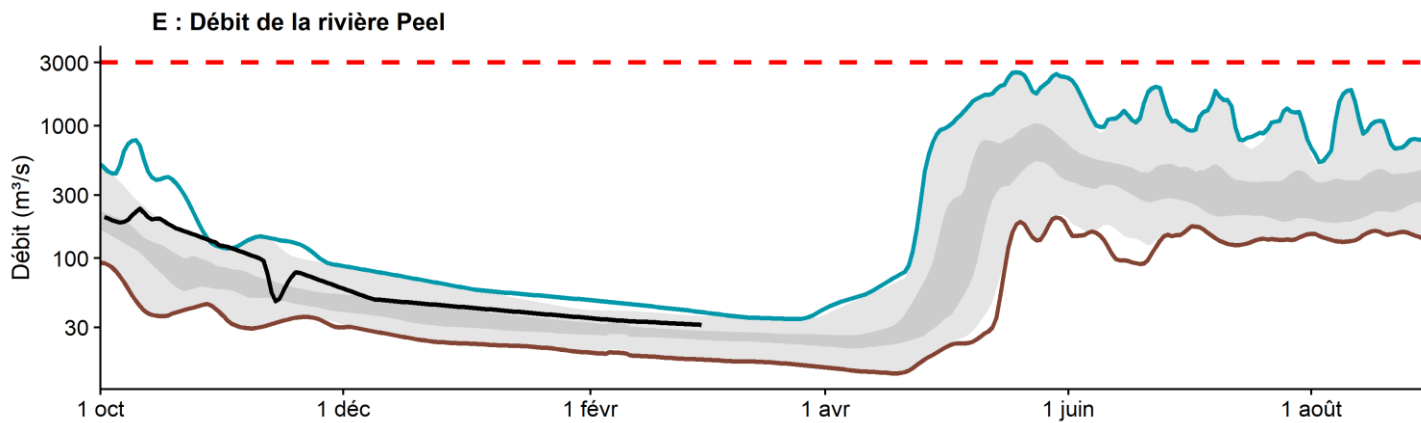


BASSIN DE LA RIVIÈRE PEEL

L'accumulation de neige dans le bassin de la rivière est **supérieure à la normale**. Au 1^{er} mars, l'équivalent en eau de la neige moyen du bassin est estimé à **127 %** de la normale, soit **151 mm** (figure B).

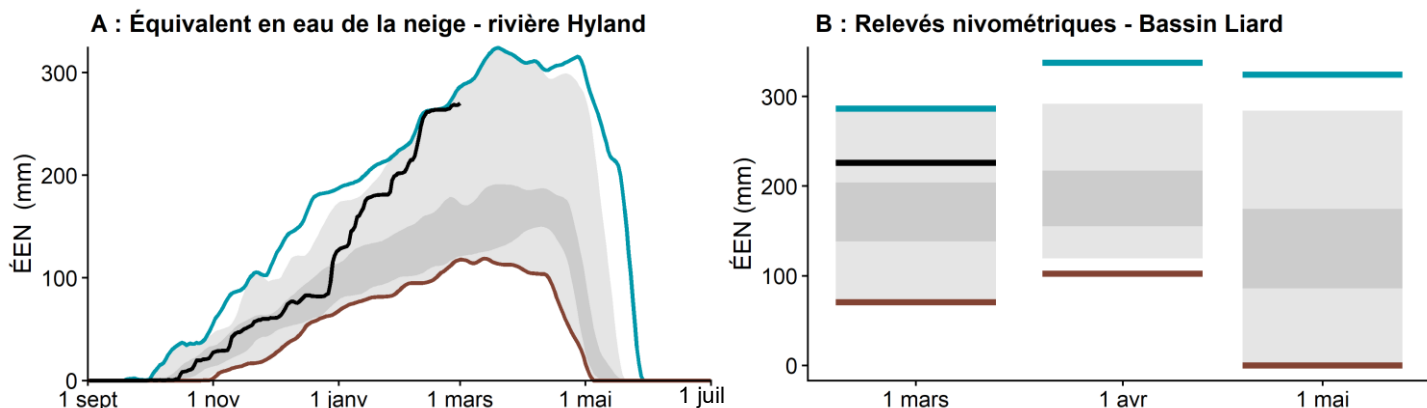


Le débit estimé de la rivière Peel est **bien supérieur à la normale** (figure E). L'accumulation de neige **supérieure à la normale**, combinée à des débits hivernaux **bien supérieurs à la normale**, laisse croire que le volume de ruissellement des crues printanières sera **supérieur à la normale**. Les conditions météorologiques de mars et d'avril détermineront le scénario printanier le plus probable.

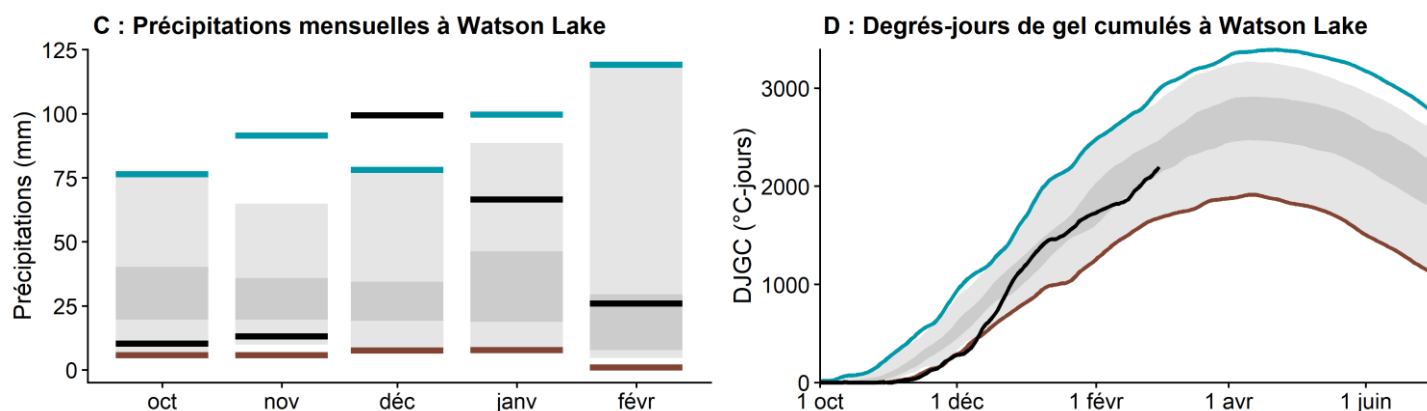


BASSIN DE LA RIVIÈRE LIARD

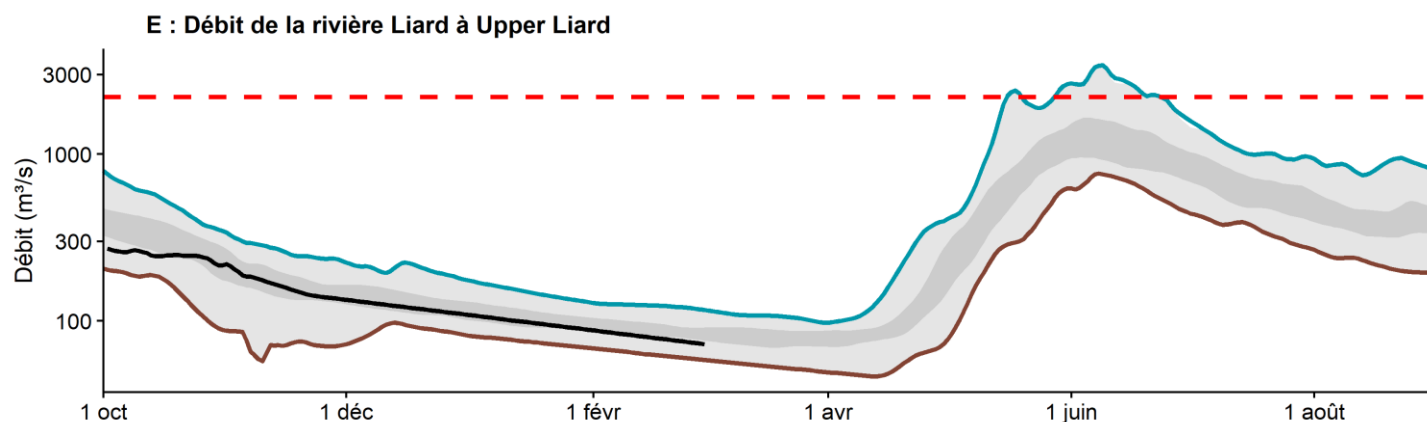
L'accumulation de neige dans le bassin de la rivière Liard est **bien supérieure à la normale**. À la station météorologique Hyland, l'équivalent en eau de la neige (ÉÉN) est estimé à **218 %** de la normale (figure A). Au 1^{er} mars, l'ÉÉN moyen du bassin est estimé à **146 %** de la normale, soit **226 mm** (figure B).



Les précipitations à l'aéroport de Watson Lake ont été **bien supérieures à la normale** d'octobre à février (figure C). Au 1^{er} mars, les précipitations hivernales cumulatives se chiffrent à **147 %** de la normale et les degrés-jours de gel cumulés à **97 %** de la normale, soit **2 196 °C-jours** (figure D), ce qui laisse croire que l'épaisseur de la glace sur les lacs et les cours d'eau de la région est près de la normale.

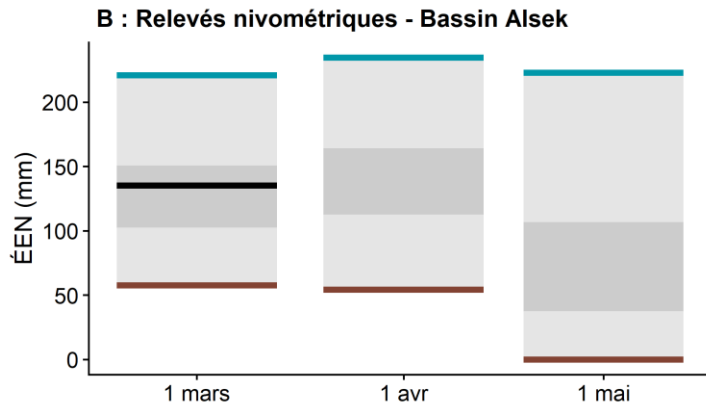


Le débit estimé de la rivière Liard à Upper Liard est **inférieur à la normale** (figure E). L'accumulation de neige **bien supérieure à la normale** dans le bassin, combinée à des débits hivernaux **inférieurs à la normale**, laisse croire que le volume de ruissellement des crues printanières sera **bien supérieur à la normale**. Les conditions météorologiques de mars et d'avril détermineront le scénario printanier le plus probable.



BASSIN DU FLEUVE ELSEK

L'accumulation de neige dans le bassin du fleuve Alsek est **supérieure à la normale**. Au 1^{er} mars, l'équivalent en eau de la neige (ÉEN) moyen du bassin est estimé à **110 %** de la normale, soit **135 mm** (figure B).



Le débit estimé du fleuve Alsek est **supérieur à la normale** (figure E). Les débits élevés dans ce bassin sont dominés par la fonte des neiges en montagne et la fonte des glaciers, qui sont largement influencées par les températures et les précipitations estivales. L'accumulation de neige dans les monts St. Elias entraînera vraisemblablement des volumes de crue **près de la normale**. Les débits de pointe dépendront des conditions météorologiques au printemps et à l'été.

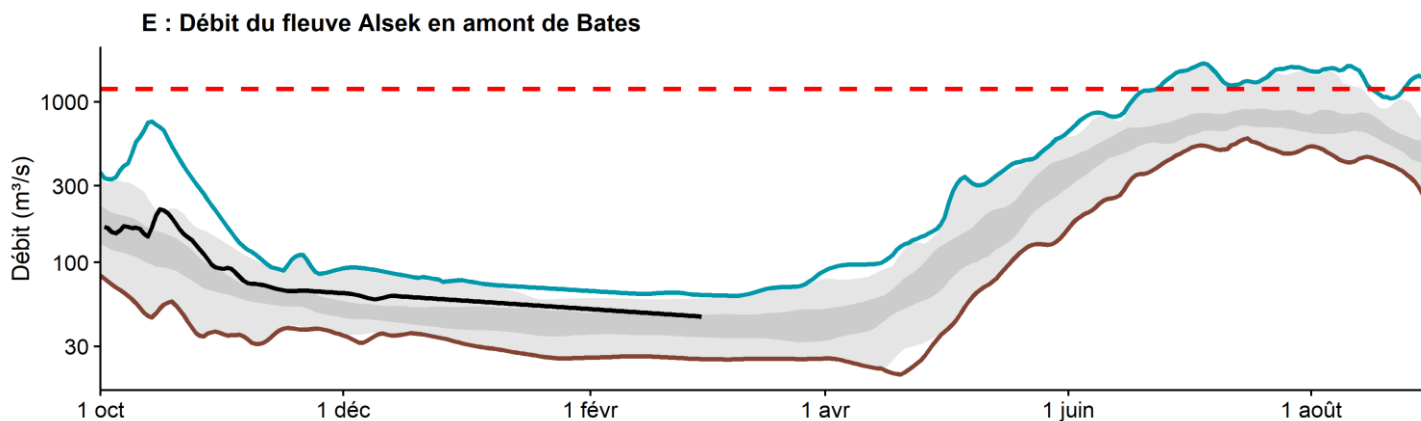


TABLEAU 1. RÉSULTATS DES RELEVÉS NIVOMÉTRIQUES PAR BASSIN HYDROGRAPHIQUE

Nom	Code	Élévation (m)	Date du relevé (mm-jj)	Épaisseur de neige (cm)	Équivalent en eau (ÉEN, mm)	% de l'ÉEN médian	Année dernière (ÉEN, mm)	ÉEN médian historique (mm)	Nombre d'années avec données
Bassin supérieur du fleuve Yukon									
Tagish	09AA-SC01	1 080	02-24	90	184	143	117	129	50
Mont Montana	09AA-SC02	1 020	02-24	79	180	135	85	133	51
Log Cabin (C.-B.)	09AA-SC03	884	02-25	136	371	113	302	328	65
Atlin (C.-B.)	09AA-SC04	730	02-23	68	154	156	96	99	61
Mont McIntyre B	09AB-SC01B	1 097	02-27	98	211	156	150	135	51
Aéroport de Whitehorse	09AB-SC02	745	02-27	80	168	181	99	93 C	61 C
Bassin des rivières Teslin et Big Salmon									
Ruisseau Meadow	09AD-SC01	1 235	02-25	131	328	137	238	240	50
Lac Jordan	09AD-SC02	930	A.R.	-	-	-	A.R.	122	34
Lac Morley	09AE-SC01	824	02-27	93	206	162	166	127	39
Piste d'atterrissage Pine Lake	10AA-SC03	995	02-26	122	310	165	204	188	50
Bassin central du fleuve Yukon									
Mont Berdoo	09AH-SC01	1 035	02-26	70	140	147	85	95	49
Lac Satasha	09AH-SC03	1 106	02-26	67	133	162	87	82	37
Ruisseau Williams	09AH-SC04	914	02-26	64	120	146	93	82	28
Bassin de la rivière Pelly									
Ruisseaux Twin	09BA-SC02	896	02-25	104	182	113	159	161 C	47 C
Rivière Hoole	09BA-SC03	1 036	02-25	98	182	156	75	117	47
Lac Burns	09BA-SC04	1 112	02-25	122	233	120	A.R.	194	36
Piste d'atterrissage Finlayson	09BA-SC05	988	02-25	76	119	131	71	91	39
Lac Fuller	09BB-SC03	1 126	02-24	90	158	93	132	169	36
Lac Russell	09BB-SC04	1 060	02-24	115	209	108	219	194	38
Ruisseau Rose	09BC-SC01	1 080	02-26	90	152	155	111	98	31
Ferme Pelly	09CD-SC03	472	02-26	51	102	134	121	76	39
Bassin de la rivière Stewart									
Piste d'atterrissage Plata	09DA-SC01	830	02-24	92	148	92	160	161	45
Lac Withers	09DB-SC01	975	02-24	97	176	94	213	188	38
Lac Rackla	09DB-SC02	1 040	02-24	84	129	81	160	160	35
Aéroport de Mayo	09DC-SC01	548	02-25	62	96	107	80	90	56
Lac Edwards	09DC-SC02	830	02-24	82	118	87	132	135	36
Calumet	09DD-SC01	1 310	02-23	83	171	102	153	167	49

Nom	Code	Élévation (m)	Date du relevé (mm-jj)	Épaisseur de neige (cm)	Équivalent en eau (ÉEN, mm)	% de l'ÉEN médian	Année dernière (ÉEN, mm)	ÉEN médian historique (mm)	Nombre d'années avec données
Bassin de la rivière White									
Mont Nansen	09CA-SC01	1 021	02-26	53	82	122	59	67	49
MacIntosh	09CA-SC02	1 160	02-26	70	121	155	77	78	49
Piste d'atterrissage Burwash	09CA-SC03	810	02-24	45	81	202	32	40	49
Beaver Creek	09CB-SC01	655	02-25	85	134	209	93	64	51
Mont Chair	09CB-SC02	1 067	A.R.	-	-	-	73	78	32
Ruisseau Casino	09CD-SC01	1 065	02-26	94	169	155	124	109	46
Bassin inférieur du fleuve Yukon									
Dôme King Solomon	09EA-SC01	1 070	02-26	97	204	134	209	152	51
Ruisseau Grizzly	09EA-SC02	975	02-27	93	189	123	200	154	50
Dôme Midnight	09EB-SC01	855	02-24	91	186	133	185	140	50
Boundary (Alaska)	09EC-SC02	1 005	A.R.	-	-	-	132	117	49
Bassin de la rivière Porcupine									
Riff's Ridge	09FA-SC01	650	A.R.	-	-	-	97	133	39
Eagle Plains	09FB-SC01	710	A.R.	-	-	-	130	145	43
Rivière Eagle	09FB-SC02	340	A.R.	-	-	-	107	110	43
Old Crow	09FD-SC01	299	02-27	63	113	102	117	111	36
Mont Crow	09FD-SC02	440	02-27	64	135 R	91	149	149	1
Bassin de la rivière Peel									
Rivière Blackstone	10MA-SC01	929	02-27	80	136	156	98	87	50
Rivière Ogilvie	10MA-SC02	595	02-27	85	154	171	98	90	50
Lac Bonnet Plume	10MB-SC01	1 120	02-24	89	143	99	140	144	35
Bassin de la rivière Liard									
Aéroport de Watson Lake	10AA-SC01	685	02-28	93	203	172	127	118	61
Piste d'atterrissage Tintina	10AA-SC02	1 067	02-25	111	232	126	152	184	45
Lac Ford	10AA-SC04	1 110	02-25	104	187	115	125	162	36
Rivière Frances	10AB-SC01	730	02-27	97	200	145	117	138	50
Rivière Hyland	10AD-SC01	880	02-27	105	257	149	143	172 C	50 C
Bassin du fleuve Alsek									
Lac Canyon	08AA-SC01	1 160	02-24	59	93	116	76	80	49
Ruisseau Alder	08AA-SC02	768	02-26	90	171	128	143	134	45
Lac Aishihik	08AA-SC03	945	02-24	55	86	126	64	68	32
Ferme Haines Junction	08AA-SC04	610	02-24	48	100	120	108	83	26
Summit	08AB-SC03	1 000	02-24	88	204	88	233	232	46
Stations nivométriques côtières en Alaska									
Eaglecrest	08AK-SC01	305	03-02	135	404	93	94	434	43
Pont du ruisseau Moore	08AK-SC02	700	02-27	152	533	115	318	465	33

Notes au sujet des dates :

A.R. – Aucun relevé

B – Date du relevé en dehors de la plage d'échantillonnage valide

Notes au sujet de l'ÉEN :

E – Estimation des résultats à partir de la profondeur de neige et des densités moyennes de neige observées dans les relevés historiques de l'emplacement.

R – Nouveau record (maximum ou minimum historique)

Notes au sujet de la médiane historique de l'ÉEN et du nombre d'années avec données :

C – Données historiques composites. Les mesures à la station sont combinées avec les données historiques d'un emplacement voisin. La médiane historique tirée des données composites peut inclure des ajustements pour tenir compte de la variation entre les deux emplacements appariés :

- **Aéroport de Whitehorse** (09AB-SC02) combine les données de l'ancien parcours nivométrique situé dans l'enceinte de l'aéroport de Whitehorse avec les nouveaux relevés pris à quelques centaines de mètres à l'ouest de l'aéroport. Deux années de relevés concomitants existent (2023-2024). Le nouveau parcours nivométrique utilise les données historiques de l'ÉEN de l'ancienne station (1965-2022) sans ajustement.
- **Ruisseaux Twin** (09BA-SC02) reflète principalement les données du parcours nivométrique des ruisseaux Twin A, situé à l'extrémité ouest de la piste d'atterrissage Twin Creeks, de 1977 à ce jour. Les données concomitantes prises du côté est de la piste d'atterrissage (ruisseaux Twin B) comblent les relevés manquants sur la période 2017-2020. Six années de relevés concomitants (2016 et 2021-2025) sont utilisées pour ajuster les données historiques de l'ÉEN transférées du parcours B au parcours A (un facteur de correction de 1,201 est appliqué aux données de l'ÉEN de 2017-2020).
- **Aéroport de Mayo** (09DC-SC01) regroupe deux parcours en cinq points. Les résultats actuels consistent en une moyenne simple des deux parcours. La médiane historique est tirée des résultats suivants : les données de 1968-1986 proviennent uniquement de la station 09DC-SC01A (Aéroport de Mayo A); les données de 1987-2025 proviennent de la moyenne des stations 09DC-SC01A et 09DC-SC01B (Aéroport de Mayo B).
- **Rivière Hyland** (10AD-SC01) combine les données de l'ancien parcours nivométrique de la rivière Hyland, situé près de la piste d'atterrissage Hyland River, avec les nouveaux relevés pris à 6 kilomètres au nord de l'ancienne station depuis 2018. Cinq années de relevés concomitants (2018-2022) sont utilisées pour ajuster les données historiques de l'ÉEN transférées de l'ancienne station à la nouvelle station (un facteur de correction de 1,092 est appliqué aux données de l'ÉEN de 1976-2017).

CARTE 4. STATIONS NIVOMÉTRIQUES

